

## บทที่ 4

### วงจรขยายสัญญาณ

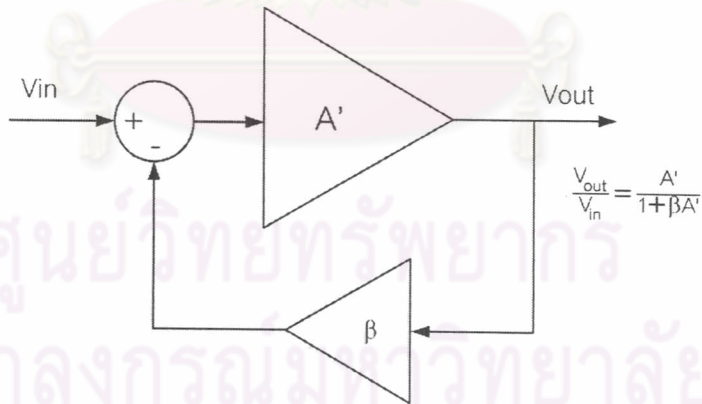
#### 4.1 หลักการทำงาน

วงจรขยายสัญญาณที่ออกแบบแบ่งเป็นสองวงจร คือ

1. วงจรขยายแรงดัน ซึ่งทำหน้าที่ขยายสัญญาณแรงดันต้นแบบให้มีขนาดใหญ่สำหรับช่องสัญญาณแรงดัน
2. วงจรแปลงแรงดันเป็นกระแส ทำหน้าที่แปลงสัญญาณแรงดันต้นแบบให้เป็นกระแสและขยายสัญญาณให้มีขนาดใหญ่

ลักษณะสมบัติของวงจรห้องที่ต้องการ คือ ไม่ทำให้เกิดความเพี้ยนที่สัญญาณด้านออก วงจร มีเสถียรภาพ และมีการคุณค่าสัญญาณออกที่ดี (สัญญาณออกไม่เปลี่ยนแปลงตามโหลด ของวงจร) โดยวงจรขยายแรงดันถูกออกแบบให้มีอัตราขยายประมาณ 80 เท่า และวงจรแปลงแรงดันเป็นกระแสถูกออกแบบให้มีอัตราขยายประมาณ  $15 A_{rms}/V_{rms}$

โครงสร้างหลักของวงจรขยายสัญญาณที่ใช้ก็คือ การใช้การป้อนกลับเพื่อควบคุมสัญญาณ ออกแบบให้มีสมบัติใกล้เคียงกับสัญญาณเข้า ดังแสดงในรูปที่ 4.1



รูปที่ 4.1 โครงสร้างพื้นฐานของวงจรขยายสัญญาณ

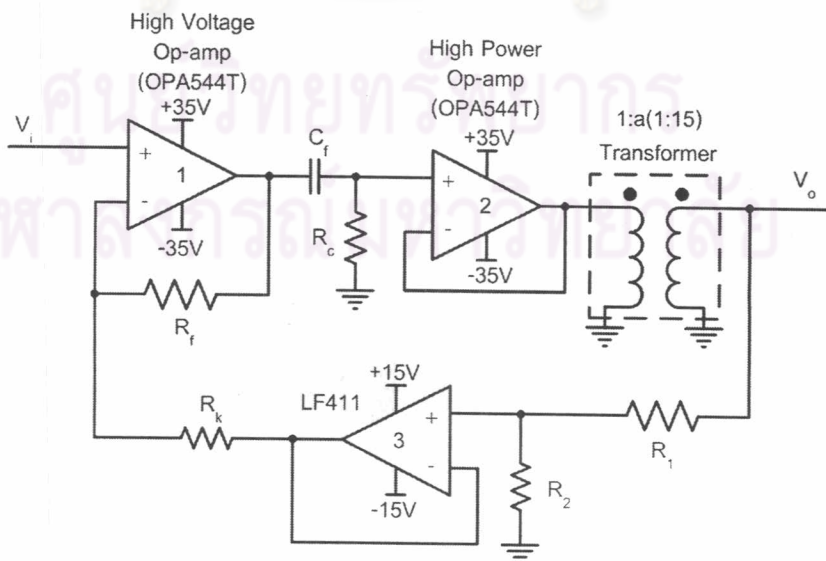
จากรูป วงจรจะประกอบด้วย 2 ส่วนคือ วิถีไปหน้า (Forward path) และวิถีป้อนกลับ (Feedback path) ซึ่งเราสามารถควบคุมอัตราขยายและสมบัติอื่น ๆ ของวงจรที่ออกแบบได้โดย การปรับค่าอัตราขยายของวิถีไปหน้า (Forward path gain) หรือค่า  $A'$  ในรูป และอัตราขยายของ วิถีป้อนกลับ (Feedback path gain) หรือค่า  $\beta$  ในรูปให้เหมาะสม สำหรับวงจรแปลงแรงดันเป็น กระแส สัญญาณออกของวงจรจะเป็นกระแสออก ( $I_{out}$ ) โดยจะแทรกส่วนแปลงสัญญาณแรงดัน

เป็นกระแสไฟฟ้าในวงจร ส่วนประกอบหลักที่ใช้ในการออกแบบวงจรขยายสัญญาณในวิทยานิพนธ์นี้คือ ออปเอมป์ (Operational amplifier ; OP-AMP) และ หม้อแปลงกำลัง (Power transformer) เพื่อให้การควบคุมสัญญาณเป็นไปได้โดยง่ายและได้สัญญาณออกที่มีขนาดใหญ่ตามต้องการ

## 4.2 การออกแบบวงจรขยายแรงดัน

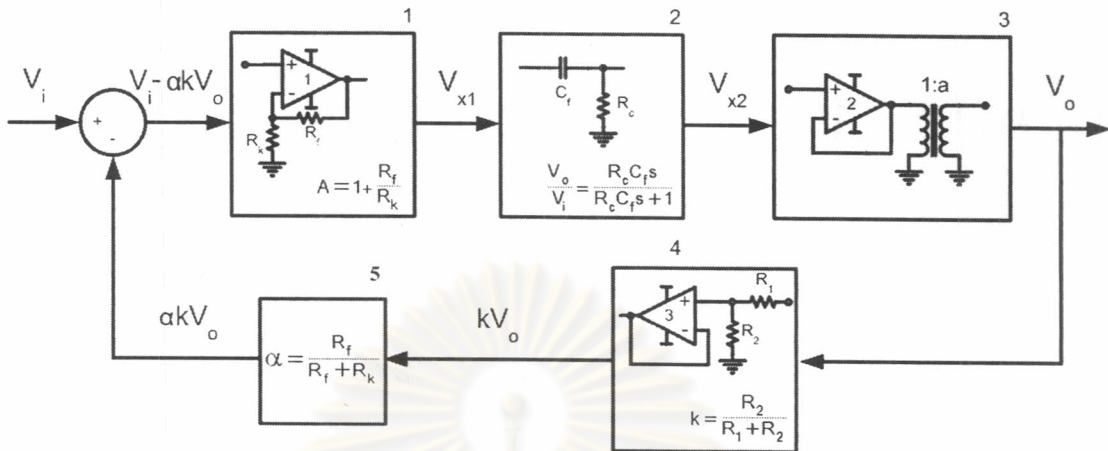
### 4.2.1 โครงสร้างของวงจรขยายแรงดัน

วงจรขยายแรงดันที่ออกแบบมีโครงสร้างวงจรเป็นดังที่กล่าวไปในหัวข้อที่แล้ว สมบัติของวงจรที่ต้องการคือ วงจรรับแรงดันเข้าเป็นสัญญาณรูปไข่นิ่วความถี่ประมาณ 50 Hz มีค่าออดสูงสุดเป็น 5 V และขยายเป็นสัญญาณแรงดันออกขนาดประมาณ  $\pm 400$  V (อัตราขยายแรงดันประมาณ 80 เท่า) วงจรต้องมีการคงค่าแรงดัน (Voltage regulation) เป็น 0.1 % ความเพี้ยนของสัญญาณออกไม่เกิน 2 % วงจร มีเสถียรภาพที่ดี มีช่วงเวลาเข้าที่ถึงค่า 1 % (1% settling time) เป็น 0.2 s และมีความคลาดเคลื่อนของเฟสของสัญญาณออกเทียบกับสัญญาณเข้าไม่เกิน 0.5 องศา ลักษณะโครงสร้างของวงจรที่ออกแบบเป็นดังรูปที่ 4.2 โดยในวิธีไปหน้าประกอบด้วยออปเอมป์กำลังสูง (High power OP-AMP) จำนวนสองตัว วงจรถักสัญญาณอฟเซต และหม้อแปลงกำลังออปเอมป์กำลังสูงทั้งสองตัวที่ใช้เป็นออปเอมป์เบอร์ OPA544T ของบริษัทเท็กซัส อินสตรูเม้นท์ (Texas Instruments) ซึ่งสามารถจ่ายแรงดันด้านออกได้สูงสุด  $\pm 31$  V ที่ไฟเลี้ยง  $\pm 35$  V และจ่ายกระแสด้านออกได้มากสุด  $\pm 2$  A ส่วนวิธีป้อนกลับจะประกอบด้วยวงจรแบ่งแรงดันและออปเอมป์ ซึ่งเลือกใช้ออปเอมป์เบอร์ LF411 เป็นออปเอมป์กำลังต่ำที่มีจุดเด่นคือ มีค่าอฟเซตของวงจรต่ำ และมีการขับเลื่อนของแรงดันอฟเซต (Low input offset voltage) ต่ำ ออปเอมป์



รูปที่ 4.2 โครงสร้างของวงจรขยายแรงดัน

ตัวนี้สามารถจ่ายแรงดันขาออกได้ถึง  $\pm 13.5 \text{ V}$  ที่ไฟเลี้ยง  $\pm 15 \text{ V}$  และสามารถจ่ายกระแสได้ประมาณ  $\pm 10 \text{ mA}$  เราสามารถมองว่าที่ออกแบบแยกเป็นส่วนต่าง ๆ ได้ดังนี้

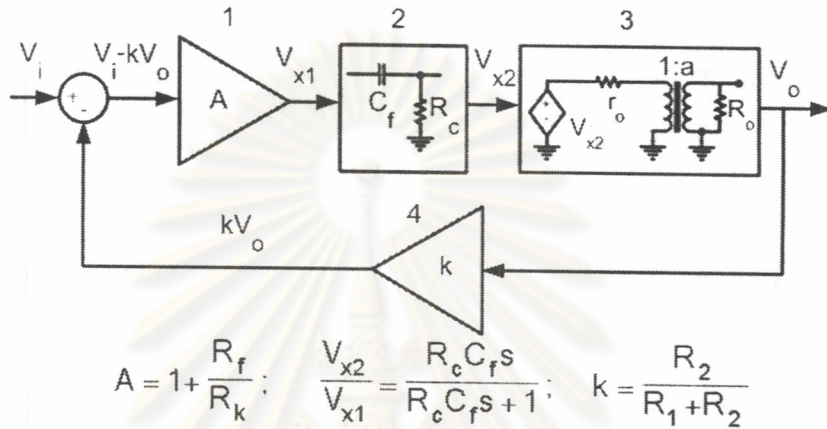


รูปที่ 4.3 แผนภาพแสดงโครงสร้างวงจรขยายแรงดันที่ถูกแยกเป็นส่วน ๆ

จากรูป โครงสร้างของวงจรขยายแรงดันสามารถแยกได้เป็น 5 ส่วนด้วยกัน วงจรในบล็อกหมายเลข 1 เป็นตัวกำหนดอัตราขยายของวิถีไปหน้าของวงจร ( $A'$  ในรูปที่ 4.1) การปรับค่าอัตราขยายทำโดยเลือกค่า  $R_f$  และ  $R_k$  ที่เหมาะสม วงจรนี้ทำหน้าที่หลักคือขยายขนาดสัญญาณผลต่างระหว่างสัญญาณเข้าและสัญญาณป้อนกลับ แต่ไม่จำเป็นต้องจ่ายกำลัง ดังนั้นเราจึงสามารถเลือกใช้อปแอมป์ที่มีช่วงการแกว่งของสัญญาณออก (Output swing) มีค่าสูงแต่ไม่จำเป็นต้องจ่ายกระแสได้สูง สำหรับในวงจรนี้เลือกใช้อปแอมป์กำลังสูงตัวเดียวกับของวงจรขับหม้อแปลง และเนื่องจากอัตราขยายของวงจรในบล็อกหมายเลข 1 มีค่าสูง ทำให้ออฟเซตของสัญญาณออกจากวงจรสูงตามไปด้วย ดังนั้นจึงไม่สามารถนำวงจรนี้ไปขับหม้อแปลงกำลังได้โดยตรง เพราะจะทำให้สัญญาณออฟเซตที่เป็นไฟตรงไฟหลั่งไปในขดลวดเหนี่ยวนำซึ่งมีความต้านทานต่ำเมื่อมองที่ความถี่ต่ำ ทำให้เกิดความร้อนสูงเสียเท่าที่อาจเป็นสาเหตุให้หม้อแปลงเสียหายได้ ดังนั้นจึงจำเป็นต้องมีวงจรกันออฟเซตมาคั่นไว้ ซึ่งมีลักษณะเป็นวงจรกรองความถี่ผ่านสูงซึ่งประกอบไปด้วย  $C_f$  และ  $R_c$  ดังแสดงในบล็อกหมายเลข 2 และส่วนสุดท้ายในวิถีไปหน้า (บล็อกที่ 3) เป็นวงจรขับหม้อแปลง ประกอบด้วยวงจรอปแอมป์ที่ต่อแบบป้อนกลับด้วยอัตราขยายเป็นหนึ่ง (Unity gain feedback) เพื่อให้มีค่าออฟเซตออกมากที่สัญญาณออกต่ำสุด และหม้อแปลงกำลังทำหน้าที่ขยายขนาดแรงดันให้มีขนาดใหญ่เพียงพอ ค่า  $a$  คืออัตราส่วนจำนวนรอบ (Turn ratio) ของหม้อแปลง และสำหรับในวิถีป้อนกลับ สัญญาณป้อนกลับจะถูกแบ่งแรงดันผ่านวงจรแบ่งแรงดันที่ประกอบไปด้วยตัวต้านทานและส่งผ่านวงจรอปแอมป์ที่ต่อแบบป้อนกลับด้วยอัตราขยายเป็นหนึ่งในบล็อกที่ 4 ทั้งนี้ก็เพื่อเป็นตัวกันเพื่อให้การป้อนกลับเป็นการป้อนกลับแรงดันเพียงอย่างเดียว อัตราขยายป้อนกลับของวงจรจะเป็นตัวกำหนดอัตราขยายรวมของวงจรโดยจะมี

ค่าเท่ากับอัตราการแบ่งแรงดันของความต้านทานทั้งสองตัวในวงจรแบ่งแรงดัน (ค่า  $k$  ในรูปที่ 4.3) ส่วนในบล็อกที่ 5 จะเป็นสัมประสิทธิ์ที่เป็นผลมาจากการต่อวงจรป้อนกลับดังในรูปที่ 4.2 ซึ่งพจน์นี้จะมีค่าใกล้เคียง 1 เมื่อ  $R_f$  มีค่ามากกว่า  $R_k$  มาก ๆ

จากที่กล่าวมาข้างต้นทำให้สามารถเขียนวงจรในรูปแบบแผนภาพบล็อก (Block diagram) ได้ดังรูปที่ 4.4 โดยประมาณค่าสัมประสิทธิ์  $\alpha$  จากในรูปที่ 4.3 เป็น 1 เนื่องจากอัตราขยายในวิธีไปหน้ามีแนวโน้มที่จะมีค่าสูง และเพื่อลดความซับซ้อนในการวิเคราะห์ในภายหลังด้วย

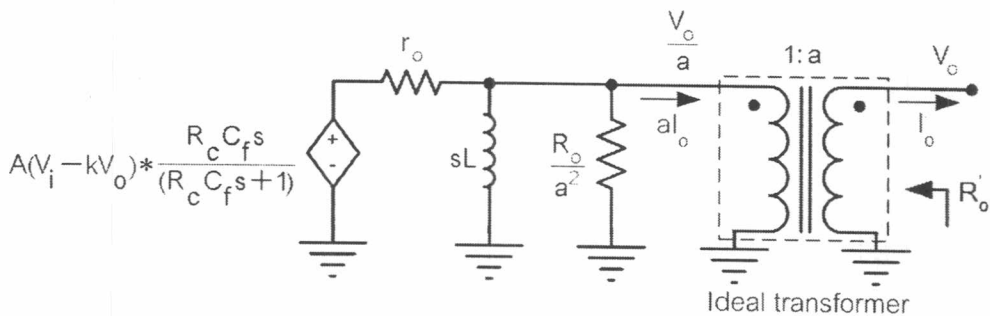


รูปที่ 4.4 แผนภาพบล็อกแสดงของวงจรขยายแรงดัน

จากภาพ เราจะแทนบล็อกหมายเลข 1 และ 4 ด้วยบล็อกของอัตราขยายเพื่อให้ดูง่ายขึ้นโดยประมาณว่าอุปกรณ์ที่ใช้ในส่วนนี้เป็นอุปกรณ์อุดมคติ ส่วนบล็อกที่ 2 นั้นจะคงไว้อย่างเดิม และในบล็อกหมายเลขสามจะแทนวงจรอุปกรณ์ด้วยวงจรสมมูลของอุปกรณ์โดยจะมีลักษณะเป็นแหล่งจ่ายแรงดันควบคุมด้วยแรงดัน (Voltage control voltage source ; VCVS) ที่มีอัตราขยายแรงดันเป็น 1 ร่วมกับความต้านทานขากอกของอุปกรณ์  $r_o$  และ  $R_o$  คือ ความต้านทานขากอกที่มีของจากหม้อแปลงซึ่งมีค่าเท่ากับความต้านทาน  $R_1$  รวมกับ  $R_2$  ขนาดกับความต้านทานให้ลด จากรูปที่ 4.2 พังก์ชันถ่ายโอนของบล็อกที่ 1, 2 และ 4 จะแสดงอยู่ด้านล่างของแผนภาพ สำหรับวงจรในบล็อกที่ 3 เป็นวงจรที่ค่อนข้างซับซ้อนและจะถูกนำมาเป็นวงจรตั้งต้นในการหาฟังก์ชันถ่ายโอนของทั้งระบบดังนั้นจะยกล่าวถึงในหัวข้อถัดไป

#### 4.2.2 การวิเคราะห์และเลือกค่าพารามิเตอร์ของวงจร

ลักษณะสมบัติ ของระบบที่สนใจจะวิเคราะห์เพื่อการเลือกค่าพารามิเตอร์ของส่วนประกอบต่าง ๆ ที่จะใช้ในวงจร คือ เสถียรภาพของวงจร ความต่างเฟสของสัญญาณออกของวงจรเทียบกับสัญญาณเข้า และ การคงค่าแรงดันของวงจร เหล่านี้สามารถวิเคราะห์ได้โดยใช้วงจรสมมูลในโดย เมนความถี่ของวงจร ซึ่งสามารถเขียนได้จากวงจรสมมูลของวงจรในบล็อกที่ 3 ดังนี้



รูปที่ 4.5 วงจรสมมูลของวงจรขยายแรงดัน

จากรูปวงจรสมมูลในรูปที่ 4.5 ถูกเขียนขึ้นโดยย้ายพารามิเตอร์ทุกตัวในวงจรมาอยังด้านปั๊มน้ำ ภูมิของหน้าแปลง วงจรด้านออกของอوبแอมเปอมป์ถูกแทนด้วยแหล่งแรงดันควบคุมด้วยแรงดันและความต้านทานขาออก  $r_o$  ค่าแรงดันของแหล่งจ่ายแรงดันควบคุมด้วยแรงดัน คือ แรงดัน  $V_{x2}$  ในรูปที่ 4.4 ซึ่งหาได้ดังนี้

$$V_{x2} = \frac{V_{x2}}{V_{x1}} \cdot V_{x1} = \frac{R_c C_f s}{R_c C_f s + 1} \cdot A(V_i - kV_o) \quad \text{สมการที่ 4.1}$$

วงจรสมมูลของหน้าแปลงจะประมาณด้วยความเห็นว่าทำแม่เหล็ก (Magnetizing inductance)  $L$  โดยละเลยพารามิเตอร์อื่น ๆ ไปเพื่อลดความซับซ้อนในการวิเคราะห์ หน้าแปลงที่แสดงในรูปเป็นแบบอุดมคติ (แปลงอัตราส่วนแรงดันและกระแสเท่านั้นโดยไม่มีผลของความเห็นว่าภายใน) นำมาเพื่อให้เข้าใจวงจรสมมูลได้ง่ายขึ้น ส่วน  $\frac{R_o}{a^2}$  คือ ความต้านทานทางผ่านทุกภูมิของหน้าแปลงที่ถูกย้ายไปไว้ที่ผู้บัญญัติค่า  $a$  คือ อัตราส่วนจำนวนรอบของหน้าแปลง  $V_o$  คือ สัญญาณแรงดันด้านออกของวงจร และ  $V_i$  คือ สัญญาณแรงดันด้านเข้าของวงจร

จากการในรูปที่ 4.5 สามารถหาฟังก์ชันถ่ายโอนได้ดังนี้

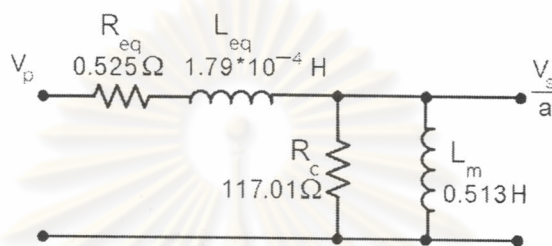
$$\frac{V_o}{V_i}(s) = \frac{aAs^2}{\left(\frac{r_o \cdot a^2}{R_o} + 1 + aAk\right)s^2 + \left(\frac{r_o}{L} + \frac{r_o \cdot a^2}{R_o \cdot R_c \cdot C_f} + \frac{1}{R_c \cdot C_f}\right)s + \frac{r_o}{R_c \cdot C_f \cdot L}} \quad \text{สมการที่ 4.2}$$

จากฟังก์ชันถ่ายโอน เราสามารถคำนวณลักษณะสมบัติเพื่อเลือกค่าพารามิเตอร์ให้กับวงจรในหัวข้อต่อไปได้ โดยสำหรับการออกแบบในขั้นต้น จะเลือกค่าพารามิเตอร์หลักบางตัวก่อนดังนี้

- เลือกค่าอัตราส่วนจำนวนรอบของหน้าแปลง โดยจะพิจารณาจากช่วงแรงดันด้านออกของอوبแอมป์กำลังสูงที่จ่ายได้ ซึ่งจะมีค่าประมาณ  $-30 \text{ V}$  ถึง  $30 \text{ V}$  ส่วนแรงดันขาออกที่ต้องการมีค่าเป็น  $\pm 400 \text{ V}$  (ค่าออดสูงสุดของสัญญาณรูปไซน์) ดังนั้นจึงเลือกค่าอัตราส่วนจำนวนรอบของหน้าแปลงเป็น  $1:15$  ทั้งนี้ ได้เพื่อเรื่องแรงดันต่อกันร่วมกันในคลอดของหน้าแปลงไว้ด้วย

2. เลือกค่าอัตราขยายของวงจรป้อนกลับ  $K$  จากขนาดสัญญาณออกและสัญญาณเข้า เนื่องจาก  $K$  จะเป็นตัวกำหนดอัตราขยายของวงจร โดยสัญญาณออกสูงสุดเป็น  $400 \text{ V}$  และสัญญาณเข้าสูงสุดเป็น  $5 \text{ V}$  ดังนั้นจึงเลือกค่า  $K$  เป็น  $1/80$  เท่า โดยเลือกค่าความต้านทานเบ่งแรงดัน  $R_1$  เป็น  $395 \text{ k}\Omega$  และ  $R_2$  เป็น  $5 \text{ k}\Omega$  ดังนั้นค่าความต้านทานทางผ่านทุติยภูมิ  $R_o$  จึงมีค่าเป็น  $400 \text{ k}\Omega$

3. ค่าความหนี่ยนนำทำแม่เหล็ก  $L$  ของหม้อแปลงสามารถหาได้โดยทางวิธีทดสอบเบิดวงจรและลัดวงจร (Short-circuit test and open-circuit test) [9] ได้ดังรูป



รูปที่ 4.6 วงจรสมมูลของหม้อแปลงขยายแรงดัน

วงจรสมมูลที่แสดงในรูปที่ 4.6 นี้เป็นวงจรสมมูลทางผ่านปฐมภูมิ (Primary side) ของหม้อแปลง โดยหม้อแปลงนี้มีอัตราส่วนจำนวนรอบเป็น  $a$  ซึ่งมีค่าเท่ากับ  $15$   $V_p$  คือแรงดันทางผ่านปฐมภูมิของหม้อแปลง  $V_s$  คือแรงดันทางผ่านทุติยภูมิของหม้อแปลง  $R_{eq}$  คือ ความต้านทานสมมูลของขดลวดภายในหม้อแปลง  $L_{eq}$  คือความหนี่ยนนำสมมูลของขดลวดซึ่งเป็นผลมาจากการฟลักซ์รั่ว (Leakage flux) ภายในหม้อแปลง  $R_C$  คือ ความต้านทานของความสูญเสียในแกน (Core-loss resistance) และ  $L_m$  คือ ความหนี่ยนนำทำแม่เหล็กของหม้อแปลง ดังนั้นค่า  $L$  ที่ใช้จึงเป็น  $0.513 \text{ H}$

4. ความต้านทานขาออกของวงจรอปเปอเรมป์  $r_o$  นั้นไม่ได้ระบุไว้ในคู่มือของอุปกรณ์ และเนื่องจากวงจรต่อโดยใช้อัตราขยายเป็น  $1$  ดังนั้นความต้านทานขาออกจะมีค่าต่ำ จึงประมาณให้ความต้านทานขาออกของวงจรอปเปอเรมป์มีค่าเป็น  $0.1 \Omega$

จากที่กล่าวมาทั้งหมดจะพบว่า เหลือค่าที่ยังไม่ได้กำหนดอีก  $3$  ค่า สำหรับวงจรนี้นั่นคือ ความต้านทานของตัวต้านทาน  $R_C$  และค่าความจุของตัวเก็บประจุ  $C_f$  ของวงจรส่วนอพフェต และค่าอัตราขยายของวิถีไปหน้า  $A$  ซึ่งเราจะเลือกโดยวิธีที่จะกล่าวต่อไปเพื่อให้วงจรขยายแรงดันที่ออกแบบได้มีสมบัติตามที่ได้ระบุไว้ตอนต้นของหัวข้อนี้ โดยจากการจราในรูปที่ 4.2 จะเห็นว่าเมื่อประมาณว่าอปเปอเรมป์ทุกด้วยเป็นอปเปอเรมป์อุดมคติแล้ว ระบบนี้จะเป็นระบบอันดับสองตามที่ได้แสดงในพังก์ชันถ่ายโอนในสมการที่ 4.2 และพารามิเตอร์ในวงจรที่สร้างขึ้นทั้งสองของระบบก็คือ ตัวเก็บประจุที่ใช้กันอพเฟต และ ตัวเหนี่ยนนำทำแม่เหล็กในหม้อแปลง แต่เนื่องจากเราไม่

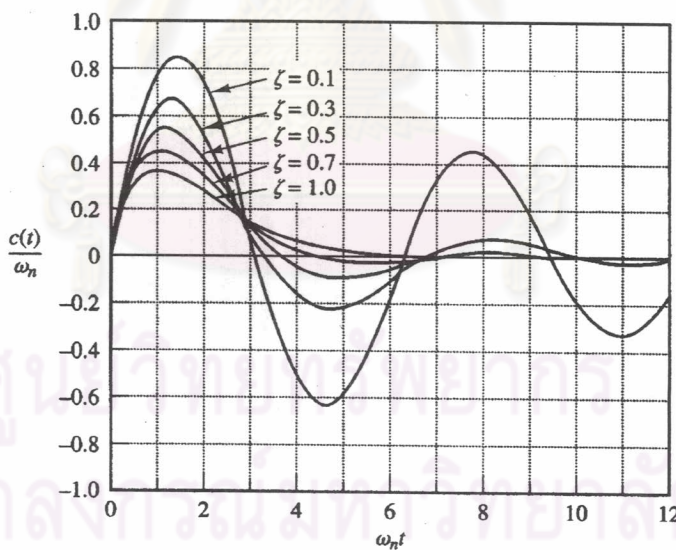
สามารถกำหนดค่าของตัวเห็นได้ทำแม่เหล็กซึ่งเป็นลักษณะสมบัติของหม้อแปลงได้ เราจึงมาเลือกปรับระบบด้วยการเปลี่ยนความจุของตัวเก็บประจุกันอฟเซตแทน ซึ่งตัวเก็บประจุนี้จะสร้างข้อของระบบร่วมกับตัวต้านทานในวงจรกันอฟเซต ดังนั้นเราจะพิจารณาตัวแปรสองตัวนี้รวมกันในรูปของผลคูณของ  $R_c$  และ  $C_f$  ส่วนพารามิเตอร์อีกด้วยนี่ที่มีส่วนสำคัญในการกำหนดสมบัติของระบบก็คือ A ซึ่งมีส่วนสำคัญในด้านเสถียรภาพของวงจร ดังนั้นจึงต้องนำมาพิจารณาเพื่อกำหนดสมบัติของวงจรด้วย ดังนี้

### 1. เสถียรภาพของวงจร

สำหรับระบบอันดับสองดังนี้ในสมการที่ 4.2 นั้น เราสามารถดูเสถียรภาพของวงจรได้ โดยดูที่ค่าอัตราการห่วง (Damping ratio;  $\zeta$ ) ของสมการลักษณะสมบัติของพังก์ชันถ่ายโอน โดยเทียบรูป กับสมการต้นแบบของระบบอันดับสองดังนี้

$$G(s) = \frac{\omega_n^2}{s^2 + 2\zeta\omega_n s + \omega_n^2} \quad \text{สมการที่ 4.3}$$

ค่าอัตราการห่วง  $\zeta$  ในสมการจะเป็นตัวระบุถึงเสถียรภาพของวงจร และผลตอบของระบบดังตัวอย่างผลตอบสนองสัญญาณอิมพัลส์ (Impulse response) ของระบบอันดับสองที่ค่าอัตราการห่วงต่าง ๆ ในรูปที่ 4.7 [8]



รูปที่ 4.7 ผลตอบสนองทางเวลาของสัญญาณอิมพัลส์ของระบบอันดับสองที่ค่าอัตราการห่วงต่างๆ

จากรูป จะเห็นว่าค่าอัตราการห่วง  $\zeta$  จะอยู่ระหว่าง 0 ถึง 1 โดยเมื่อค่าอัตราการห่วง เข้าใกล้ 1 มากขึ้นระบบจะมีเสถียรภาพที่ดีขึ้นแต่ก็ตอบสนองต่อสัญญาณเข้าได้ช้าลง และเมื่อลดค่าอัตราการห่วงลงถึง 0 ระบบจะขาดเสถียรภาพทำให้ได้สัญญาณออกที่มีลักษณะแกว่ง (Oscillate) ดังนั้นสำหรับในระบบที่ก่อร่อง เราจะพิจารณาเสถียรภาพของระบบโดยเลือกค่า

พารามิเตอร์ของวงจรเพื่อให้ระบบมีค่าอัตราการหน่วงที่มากเพียงพอ ซึ่งสำหรับในที่นี้เลือกให้อัตราการหน่วงมีค่ามากกว่า 0.7 โดยจากสมการที่ 4.2 เราจะมองสัมประสิทธิ์ของ  $s$  ในรูปของตัวแปร  $A, B, C$  และ  $D$  ดังนี้

$$\frac{V_o}{V_i}(s) = \frac{As^2}{Bs^2 + Cs + D} \quad \text{สมการที่ 4.4}$$

โดยที่

$$A = aA$$

$$B = \frac{r_o \cdot a^2}{R_o} + 1 + aAk$$

$$C = \frac{r_o}{L} + \frac{r_o \cdot a^2}{R_o \cdot R_c \cdot C_f} + \frac{1}{R_c \cdot C_f}$$

$$D = \frac{r_o}{R_c \cdot C_f \cdot L}$$

$$\text{เมื่อเทียบสมการที่ 4.3 และ 4.4 จะได้ว่า } \zeta = \frac{C}{2\sqrt{BD}} \text{ และ } \omega_n = \sqrt{\frac{D}{B}} \text{ ซึ่งเมื่อแทนค่า}$$

สัมประสิทธิ์ลงในสมการ  $\zeta > 0.7$  แล้วจะได้สมการที่ระบุขอบเขตของพารามิเตอร์ดังนี้

$$A < [(\frac{r_o}{L} + \frac{r_o a^2}{R_o R_c C_f} + \frac{1}{R_c C_f})^2 \cdot \frac{R_c C_f L}{r_o} \cdot \frac{1}{1.96} - 1 - \frac{r_o a^2}{R_o}] \cdot \frac{1}{ak} \quad \text{สมการที่ 4.5}$$

ซึ่งเมื่อแทนค่าพารามิเตอร์ต่าง ๆ ที่ได้กำหนดไว้แล้วลงไปจะได้สมการเป็น

$$A < [(0.195 + \frac{5.625 \cdot 10^{-5}}{R_c C_f} + \frac{1}{R_c C_f})^2 \cdot \frac{R_c C_f}{0.195} \cdot \frac{1}{1.96} - 1 - 5.625 \cdot 10^{-5}] \cdot 0.1875$$

..... สมการที่ 4.6

เราจะใช้สมการนี้เป็นหนึ่งในข้อกำหนดในการเลือกค่าพารามิเตอร์ของวงจร ดังรายละเอียดที่จะกล่าวถึงในภายหลัง

## 2. ความต่างเฟสของสัญญาณออก

วงจรขยายแรงดันที่ออกแบบ ถูกออกแบบมาให้ขยายขนาดสัญญาณด้านเข้าโดยไม่ทำให้สมบัดดื่น ๆ ของสัญญาณเปลี่ยนแปลงไป ไม่ว่าจะเป็นความเพี้ยนเชิง harmonic หรือ ความต่างเฟสระหว่างสัญญาณเข้าและสัญญาณออก แต่ในความเป็นจริงระบบที่สร้างจะมีความไม่เป็นอุดมคติทำให้สัญญาณออกมีเฟสที่ต่างไปจากสัญญาณเข้าซึ่งเป็นลักษณะสมบัติที่ไม่ต้องการให้มีอยู่ดังนั้นจึงต้องออกแบบให้วงจรขยายแรงดันนี้ให้สัญญาณออกมีเฟสคลาดเคลื่อนไปจากสัญญาณเข้าน้อยที่สุด โดยในวิทยานิพนธ์นี้จะกำหนดให้สัญญาณออกมีเฟสต่างไปจากสัญญาณเข้าได้ไม่เกิน 0.5 องศา รายละเอียดเป็นดังนี้

เนื่องจากในระบบนี้จ่ายสัญญาณเข้าเป็นสัญญาณรายค่ารูปไซน์ (Sinusoidal input) ดังนั้นสัญญาณออกจากระบบที่ได้ที่สถานะอยู่ตัวจะเป็นสัญญาณรูปไซน์ด้วยเช่นกัน แต่มีการเลื่อนเฟสไปจากสัญญาณเข้า โดยเฟสอาจจะตามหรือล่าช้ากว่าสัญญาณเข้าก็ได้ขึ้นกับลักษณะของระบบจาก [8] ระบุว่าสามารถหาความต่างเฟสของสัญญาณออกที่เลื่อนไปจากสัญญาณเข้าได้จาก มูลเฟสของฟังก์ชันถ่ายโอนสำหรับระบบที่มีสัญญาณเข้าเป็นรูปไซน์ (Sinusoidal transfer function) ซึ่งหาได้โดยการแทน  $s$  ในฟังก์ชันถ่ายโอน (สมการที่ 4.4) ด้วย  $j\omega$  ได้เป็น

$$\angle \frac{V_o}{V_i}(j\omega) = \angle \frac{-A\omega^2}{(D - B\omega^2) + j\omega C} = 180^\circ - \arctan\left(\frac{\omega C}{D - B\omega^2}\right) \quad \text{สมการที่ 4.7}$$

ซึ่งเมื่อจำกัดให้ค่าความต่างเฟสไม่เกิน 0.5 องศา และแทนค่าสัมประสิทธิ์ต่าง ๆ ลงไปจะได้ สมการแสดงความสัมพันธ์ของพารามิเตอร์เพื่อให้ได้ความต่างเฟสอยู่ในกำหนดเป็นดังนี้

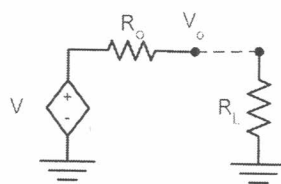
$$A > \left[ \left( \frac{r_o}{L} + \frac{r_o a^2}{R_L R_c C_f} + \frac{1}{R_c C_f} \right) * \frac{\omega}{8.727 * 10^{-3}} + \frac{r_o}{R_c C_f L} - \left( \frac{r_o a^2}{R_L} + 1 \right) * \omega^2 \right] * \frac{1}{a k \omega^2} \quad \text{สมการที่ 4.8}$$

โดยที่  $R_L$  คือความต้านทานขาออกที่ค่าให้ลดพิกัดของวงจร เนื่องจากความต่างเฟสเปลี่ยน แปลงตามค่าให้ลด โดยเมื่อค่าให้ลดลง ค่าความต่างเฟสจะมีค่าเพิ่มขึ้น ดังนั้นเราจะพิจารณา เลือกค่าจากกรณีที่จะทำให้เกิดความต่างเฟสมากที่สุดเพื่อให้ได้ค่าพารามิเตอร์ที่ครอบคลุมทุก กรณี เนื่องจากให้ลดของวงจรจะต้องนานกับความต้านทานให้ลดซึ่งมีค่าเป็น 4840  $\Omega$  (คิดจาก การที่มีเตอร์ต้องสามารถจ่ายกำลัง 10 W ได้ที่แรงดัน 220  $V_{rms}$  ซึ่งเทียบเท่ากับการจ่ายกำลัง ทดสอบมิเตอร์ได้ 5 ตัว) ดังนั้นจึงต้องแทนค่า  $R_o$  เดิมในสมการด้วย  $R_L$  ทำให้ได้ค่าพารามิเตอร์เป็น

$$A > \left[ (0.195 + \frac{4.65 * 10^{-3}}{R_c C_f} + \frac{1}{R_c C_f}) * \frac{314.159}{8.727 * 10^{-3}} + \frac{0.195}{R_c C_f} - (4.65 * 10^{-3} + 1) * 314.159^2 \right] * \frac{0.1875}{314.159^2} \quad \text{สมการที่ 4.9}$$

### 3. การคงค่าแรงดัน

การคงค่าแรงดันคือความสามารถในการคงค่าแรงดันด้านออกของวงจรให้คงที่เมื่อโหลด ของวงจรเปลี่ยนไป โดยจะบอกค่าเป็นเปอร์เซ็นต์ กรณีตัวอย่างเป็นดังนี้



รูปที่ 4.8 วงจรสมมูลเพื่อทำการคงค่าแรงดัน

สำหรับการหาค่าคงค่าแรงดัน เราจะเขียนวงจรสมมูลด้านออกของวงจรที่เราต้องการวิเคราะห์ในรูปแบบของวงจรสมมูลเทเเนน (Thevenin equivalent circuit) ที่ประกอบไปด้วยแหล่งแรงดันขาออกที่จ่ายแรงดัน  $V$  และตัวต้านทานขาออกของวงจร  $R_o$  ในภาวะที่ไม่มีโหลด วงจรจะไม่มีกระแสไฟ流ผ่านตัวต้านทานขาออกทำให้มีแรงดันตกคร่อม และสัญญาณแรงดันออกเป็น  $V_o$  แต่ในกรณีที่มีโหลดความต้านทาน  $R_L$  เข้ามาต่อ กับวงจร วงจรจะมีการจ่ายกระแสและมีแรงดันตกคร่อมตัวต้านทานขาออกทำให้แรงดันออกที่ได้ลดลงไปจากเดิม สำหรับวงจรนี้เราสามารถคำนวณหาค่าคงค่าแรงดันได้โดยจากนิยามของการคงค่าแรงดัน (Voltage regulation ;VR)

$$VR(\%) = \frac{V_{nl} - V_{fl}}{V_{fl}} * 100 \quad \text{สมการที่ 4.10}$$

โดยที่  $V_{nl}$  คือ แรงดันขาออกของวงจรเมื่อไม่มีโหลด และ  $V_{fl}$  หมายถึง แรงดันขาออกของวงจรเมื่อมีโหลดพิกัดมาต่อ สำหรับวงจรในรูปที่ 4.8 เราสามารถหาค่าคงค่าแรงดันได้เป็น

$$VR(\%) = \frac{R_o}{R_L} * 100 \quad \text{สมการที่ 4.11}$$

ดังนั้นจากสมการที่ 4.11 จะเห็นว่าถ้าความต้านทานขาออก  $R_o$  ของวงจร มีค่า ยิ่งน้อย การคงค่าแรงดันของวงจร ก็จะยิ่งดีขึ้น ซึ่งสำหรับวิทยานิพนธ์นี้ได้กำหนดไว้ว่าต้องการให้การคงค่าแรงดันของวงจร มีค่าไม่เกิน 0.1 % ทำให้สามารถสร้างข้อกำหนดสำหรับการเลือกค่าพารามิเตอร์ได้โดยการหาความต้านทานขาออกของวงจร หรือ ก็คือการหาค่า  $R'_o$  วงจรสมมูลในรูปที่ 4.5 ซึ่งหาค่าได้เป็น

$$R'_o = \frac{r_o a^2 Z}{Z(1+aA'k) + r_o} \quad \text{สมการที่ 4.12}$$

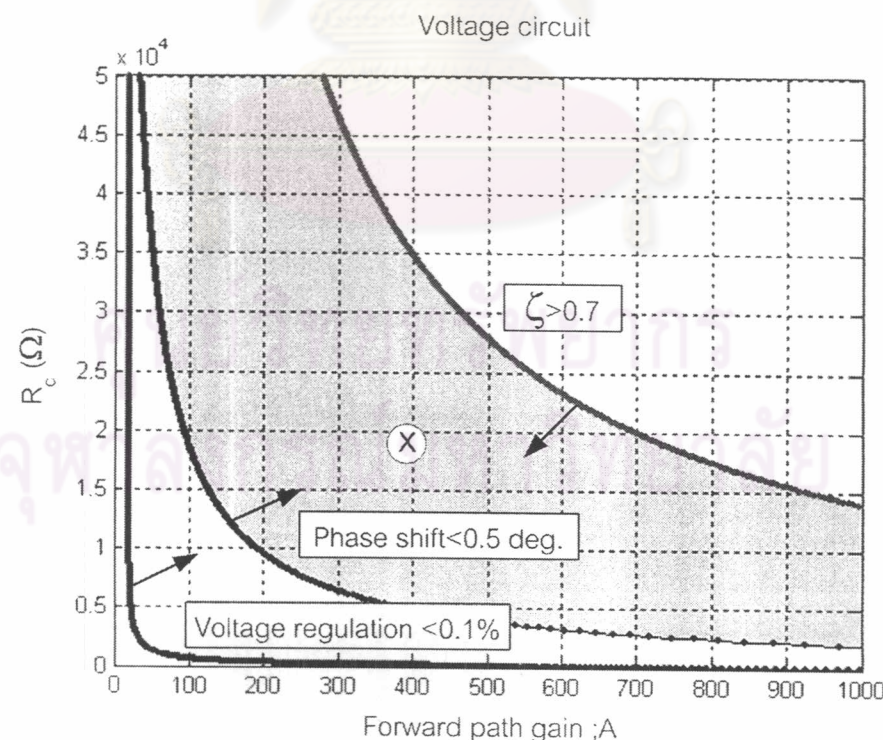
โดยที่  $A' = \frac{R_c C_f s}{R_c C_f s + 1} \cdot A$   $Z$  คือ ขนาดอิมพีเดนซ์รวมระหว่างค่าตัวเหนี่ยวนำทำแม่เหล็ก  $L$  ของหม้อแปลงกับค่าความต้านทานขาออกที่ถูกยกย้ายผ่านหม้อแปลง  $\frac{R_o}{a^2}$  ซึ่งมีค่าเป็น  $\frac{R_o s L}{R_o + s L a^2}$  ดังนั้นเมื่อแทนค่าขนาดของ  $R'_o$  ด้วยการแทน  $s = j\omega$  และหาขนาดของค่าที่ได้ไม่เกิน 0.1 % จะได้ความสัมพันธ์

$$A \geq \left[ \frac{1000 r_o a^2}{R_L} - \frac{r_o \sqrt{R_o^2 + (\omega L a^2)^2}}{\omega L R_o} - 1 \right] \cdot \frac{1}{ak} \cdot \frac{\sqrt{(R_c C_f \omega)^2 + 1}}{R_c C_f \omega} \quad \text{อสมการที่ 4.13}$$

ค่า  $R_L$  ในวงจร คือ ความต้านทานโหลดของวงจรที่ค่าพิกัด ( $4840 \Omega$ ) ส่วนความถี่ที่ใช้คือ  $50 \text{ Hz}$  ดังนั้นสามารถแทนค่าพารามิเตอร์ที่กำหนดไว้แล้วได้เป็น

$$A \geq \left[ 4.65 - \frac{0.1}{160.51} - 1 \right] \cdot 0.1875 \cdot \frac{\sqrt{(R_c C_f 314.159)^2 + 1}}{R_c C_f 314.159} \quad \text{.....สมการที่ 4.14}$$

เราจะนำสมการกำหนดขอบเขตทั้งสาม (สมการที่ 4.6 , สมการที่ 4.9 และสมการที่ 4.14) มาวาดกราฟในกราฟเดียวกัน โดยจะกำหนดค่า  $C_f$  ไว้ล่วงหน้าเป็น  $1 \mu\text{F}$  สาเหตุที่ต้องเลือกค่า  $C_f$  เป็นค่าสูงก็เพื่อให้ผลคูณ  $R_c C_f$  มีค่าสูงซึ่งมีผลทำให้วงจรกันออกเฟดไม่ลดthonแรงดันลงมากเกินไป เพราะจะทำให้ช่วงแรงดันขากอกที่จ่ายได้มีค่าลดลง และจะวาดกราฟโดยแสดงตัวแปรเป็น  $R_c$  และ  $A$  ดังรูปที่ 4.9 พื้นที่ที่ลูกศรของแต่ละกราฟซึ่งหมายถึงพื้นที่ที่สอดคล้องกับสมการข้อกำหนดนั้น ๆ ส่วนพื้นที่ที่แรเงาจะหมายถึงพื้นที่ซึ่งสอดคล้องกับข้อกำหนดทั้งสาม ซึ่งจากการจะเห็นว่าข้อกำหนดของเฟสจะครอบคลุมข้อกำหนดของการคงค่าแรงดันทั้งหมด เราจะเลือกค่า  $A$  และ  $R_c$  จากจุดในพื้นที่ที่แรเงามาเป็นพารามิเตอร์ของวงจร โดยจุดที่เลือกคือ  $A = 400$  เท่า และ  $R_c = 18k\Omega$  ซึ่งเป็นจุดที่สอดคล้องกับข้อกำหนดทั้งหมด ซึ่งเมื่อแทนค่ากลับจะพบว่าค่าที่เลือกมานี้ทำให้ได้ค่า  $\zeta = 0.9717$ , Phase shift =  $0.1344$  องศา (แทนค่า  $R_o$  ด้วย  $R_L = 4840 \Omega$ ) และ Voltage regulation =  $0.0062\%$  ซึ่งผ่านข้อกำหนดที่ออกแบบทุกข้อ

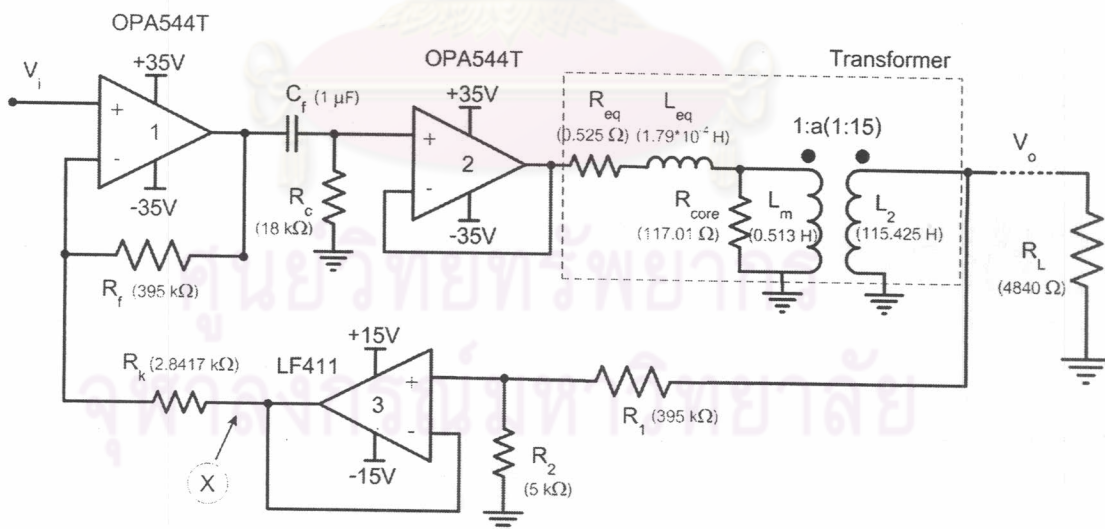


รูปที่ 4.9 การเลือกค่าพารามิเตอร์  $A$  และ  $R_c$  ตามข้อกำหนดสำหรับวงจรขยายแรงดัน

#### 4.2.3 การปรับปรุงวงจร

เมื่อทดลองต่อวงจรโดยปรับค่าพารามิเตอร์ให้เป็นไปตามที่ได้ออกแบบไว้พบว่างจรขาดเสถียรภาพและไม่สามารถทำงานได้ จึงทำการแก้ไขเบื้องต้นโดยลดค่าอัตราขยายของวงจรลงมาเนื่องจากมีแนวโน้มที่จะทำให้เสถียรภาพมากขึ้น (ค่า  $\zeta$  มากขึ้นจากรูปที่ 4.9) โดยจะลดให้เป็นค่าอัตราขยายค่าต่ำที่ยังผ่านข้อกำหนด จากกราฟที่ 4.9 ที่ค่า  $R_c$  เป็น  $18 \text{ k}\Omega$  จะได้อัตราขยายดังกล่าวเป็น 140 เท่า ซึ่งค่า  $R_c$  และ  $A$  นี้เมื่อแทนค่ากลับไปเพื่อหาสมบัติของวงจรจากที่ออกแบบจะได้ว่า  $\zeta = 1.623$ , Phase shift = 0.375 และ Voltage regulation = 0.0173 % ซึ่งจะเห็นว่าค่า  $\zeta$  มากขึ้นซึ่งน่าจะทำให้เสถียรภาพของระบบดีขึ้น ส่วนค่าอื่น ๆ จะทดลองตามแนวโน้มที่เห็นในกราฟรูปที่ 4.9 แต่ก็ยังผ่านข้อกำหนดที่เสนอไว้ ผลการทดลองต่อวงจรพบว่าระบบยังขาดเสถียรภาพอยู่ซึ่งจำเป็นต้องมีการแก้ไขต่อไป

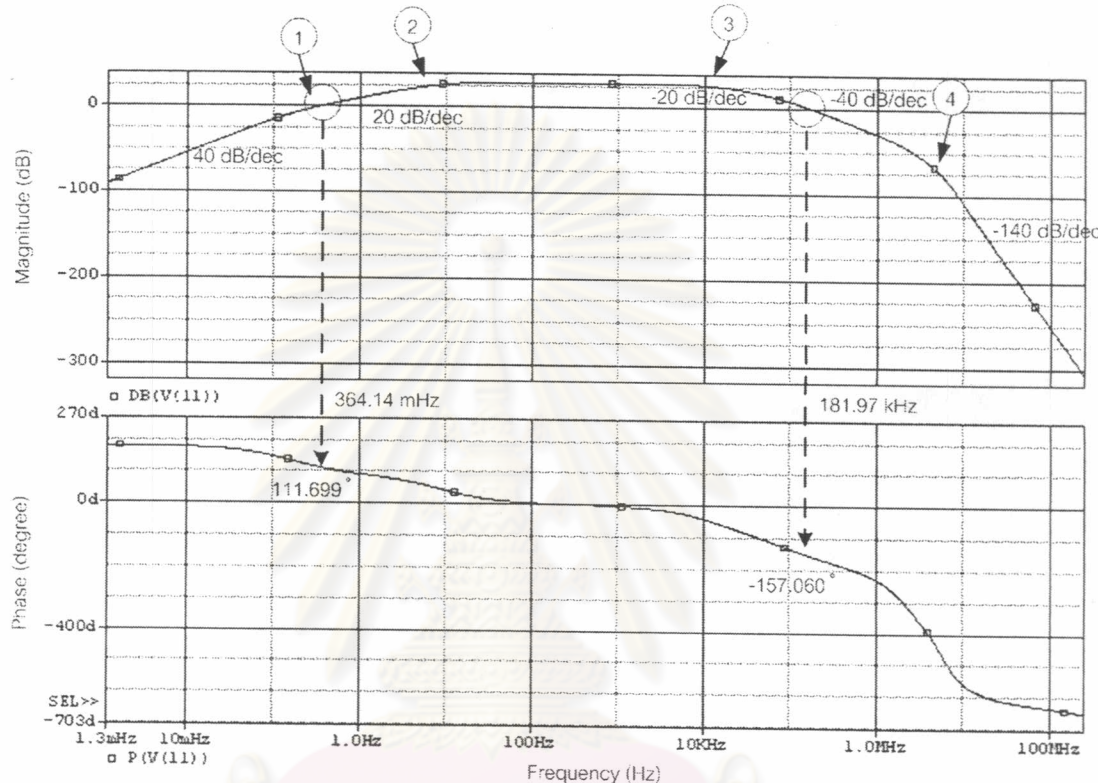
เราจำเป็นต้องหาสาเหตุของการขาดเสถียรภาพและทำการแก้ไขปรับปรุง โดยเริ่มต้นด้วยการวิเคราะห์วงจรโดยจำลองการทำงานของวงจร โดยจากค่าที่ออกแบบไว้ เราสามารถจำลองการทำงานของวงจรได้โดยใช้แบบจำลองวงจรของอปแอมป์เบอร์ OPA544T และ LF411 ที่ผู้ผลิตให้มา ส่วนหม้อแปลงก็ใช้แบบจำลองหม้อแปลงทั่วไป (ที่แสดงในสไลด์ในรูปที่ 4.10) ที่ได้นำเสนอไว้ในรูปที่ 4.6 ทั้งนี้เพื่อศึกษาผลของส่วนที่ได้ละเลยไปตอนออกแบบก่อนที่จะทดลองต่อวงจรจริงด้วย โปรแกรมที่ใช้คือ OrCAD Pspice วงจรที่จะทำการจำลองการทำงานเป็นดังรูปที่ 4.10 โดยจะมีความต้านทานมาต่อเป็นโหลดขนาด  $4840 \Omega$  เพื่อทดสอบการคงค่าแรงดันของวงจรด้วย



รูปที่ 4.10 วงจรขยายแรงดันที่ออกแบบไว้และถูกนำมาไปจำลองการทำงาน

จากผลการจำลองการทำงานของวงจร เราจะดูเสถียรภาพของวงจรจากส่วนผู้ของเฟส (Phase margin) ของวงจรโดยดูที่ผลตอบสนองเชิงความถี่ของระบบวงเปิด (Open-loop frequency response) ซึ่งหาโดยดูเฟสของสัญญาณป้อนกลับของระบบวงเปิดที่เลื่อนไปจาก

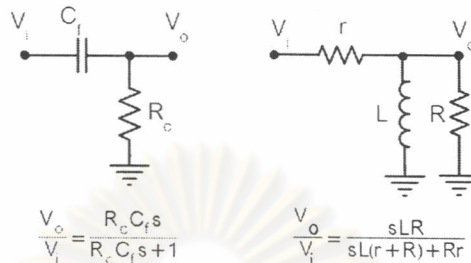
สัญญาณเข้าที่ความถี่ที่ทำให้ขนาดของอัตราขยายของวงจรเป็นหนึ่งร่วมกับ 180 องศาเท่าไร (ในกรณีอัตราขยายเพิ่มขึ้นตัด 0 เดซิเบล) หรือเกิน -180 องศาอยู่เท่าไร (ในกรณีของอัตราขยายลดลงตัด 0 เดซิเบล) การจำลองการทำงานของระบบวงเปิดทำได้โดยเปิดวงจรที่จุด X ในรูปที่ 4.10 แล้วลดวงจร  $R_k$  ลงดิน สัญญาณออกของวงเปิดคือสัญญาณออกจากวงจรประกอบเป็นปัมมายเลข 3 ซึ่งแสดงอยู่ในกราฟผลตอบความถี่ในรูปที่ 4.11



รูปที่ 4.11 ผลตอบสนองเชิงความถี่ของขนาดและเฟสของระบบวงเปิดของวงจรขยายแรงดัน

กราฟบนในรูปเป็นกราฟระหว่างอัตราขยายของระบบวงเปิดหน่วยเป็นเดซิเบล (dB) กับความถี่ของสัญญาณหน่วยเป็น Hz ส่วนกราฟล่างเป็นกราฟระหว่างเฟสของสัญญาณออกของระบบวงเปิดที่เลื่อนไปจากสัญญาณเข้าหน่วยเป็นองศา กับ ความถี่ของสัญญาณหน่วยเป็น Hz จุดที่แสดงในกราฟบนคือจุดที่อัตราขยายของวงเปิดมีค่าเป็นหนึ่งหรือขนาดเป็น 0 dB โดยสำหรับด้านข้างจะเกิดที่ความถี่ 364.14 mHz ซึ่งที่จุดนี้มีการเลื่อนเฟสของสัญญาณออกเป็น 111.699 องศา ซึ่งหมายถึงมีค่าส่วนເຝືອຂອງເຟສເປັນ 68.301 องศา ส่วนที่อัตราขยายเป็นศູນຢ້ານຫາລັງอยู่ที่ความถี่ 181.97 kHz ส่วนจุดในกราฟล่างซึ่งจุดที่ความถี่เดียวกันว่ามีเฟสของสัญญาณออกเลื่อนไป -157.060 องศา แสดงວ່າມีສ່ວນເຝືອຂອງເຟສເປັນ 22.94 องศา ซึ่งຈາກค่าສ່ວນເຝືອຂອງເຟສທີ່ຫາໄດ້ທັງສອງแสดงໃຫ້ເໜີວ່າຮບບຍັງມີເສດີຍຮກພ ໂດຍສໍາຮັບທີ່ຄວາມຄືຕໍ່າຊື່ວ່າມີເສດີຍຮກພຄ່ອນຫ້າງດີ (ຮບບທີ່ມີເສດີຍຮກພທີ່ຄວາມຄືຕໍ່າສ່ວນເຝືອຂອງເຟສເປັນ 60 องศา) ສ່ວນທີ່ຄວາມຄືສູງຈະມີເສດີຍຮກພຄ່ອນຫ້າງຕໍ່າຊື່ຈຳເປັນຕ້ອງມີການແກ້ໄຂຕ່ອງໄປ

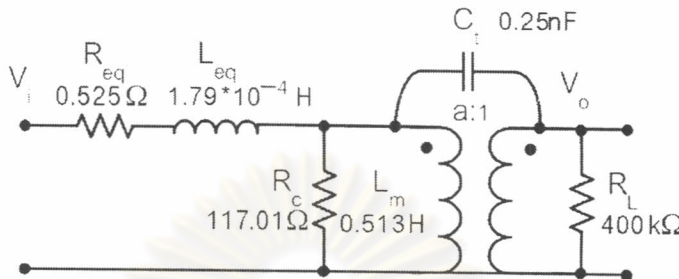
สำหรับระบบที่ออกแบบตามวงจรในรูปที่ 4.10 นั้น ตามที่ได้แสดงให้เห็นในพังก์ชันถ่ายโอน จะเห็นว่าระบบมีสองข้อ (Pole) และสองศูนย์ (Zero) ซึ่งคุณนิ่นนมาจากการต้านทานและค่าตัวเก็บประจุของวงจรกันออกซ์โซฟเซต ดังรูปข้างมือของรูปที่ 4.12 ซึ่งมีค่าข้อเป็น  $\frac{1}{2\pi R_c C_f}$  และแทนค่าได้เป็น  $8.84 \text{ Hz}$  (ประมาณตำแหน่งหมายเลข 2 ในรูปที่ 4.11) โดยศูนย์จะอยู่ที่จุดกำเนิด



รูปที่ 4.12 วงจรอย่างง่ายแสดงส่วนสร้างข้อและศูนย์ของระบบ

ส่วนอีกหนึ่งคุณภาพจากความหนี่ยวนำและความต้านทาน ดังวงจรสมมูลโดยประมาณในรูปที่ 4.12 ด้านขามีอ ซึ่งมี ค่าข้อเป็น  $\frac{Rr}{2\pi L(r+R)}$  เมื่อ  $R$  แทนความต้านทานของวงจรออกที่ถูกย้ายผ่านอัตราส่วนจำนวนรอบของหม้อแปลง  $r$  แทนความต้านทานของวงจรออกป้อนปีที่ขับหม้อแปลงรวมกับความต้านทานสมมูลของหม้อแปลง  $L$  แทนความหนี่ยวนำทำแม่เหล็กของหม้อแปลง เมื่อแทนค่าพารามิเตอร์ต่าง ๆ จากรูปที่ 4.10 จะได้ค่าความถี่เป็น  $0.196 \text{ Hz}$  (ตำแหน่งหมายเลข 1 ในรูปที่ 4.11) ส่วนค่าศูนย์จะอยู่ที่จุดกำเนิด เช่นกัน ซึ่งจากค่าที่กล่าวมาจะเห็นว่างจราจรจะมีแค่สองข้อที่ช่วงความถี่ต่ำเท่านั้น ซึ่งเสถียรภาพที่ออกแบบไว้ตั้งแต่ต้นก็จะเป็นค่าที่ส่วนนี้ซึ่งจะเห็นว่ามีเสถียรภาพด้านความถี่ต่ำค่อนข้างดี แต่ในผลการจำลองการทำงานที่ได้จะพบว่าในช่วงความถี่สูงก็มีผลจากข้อที่สองเป็นลักษณะสมบัติของอุปกรณ์มาเกี่ยวข้อง โดยจากรูปที่ 4.11 ตำแหน่งหมายเลข 3 จะมีผลจากข้อสอง (เนื่องจากความชันเปลี่ยนจากศูนย์ไปเป็น  $-40 \text{ dB/decade}$ ) ข้อนี้เป็นผลมาจากการลักษณะสมบัติของอุปกรณ์ OPA544T โดยจากคุณมืออุปกรณ์[10] จะสามารถระบุได้ว่าที่อัตราขยาย 140 เท่า อุปกรณ์นี้มีความกว้างແບ (Bandwidth) ประมาณ  $10 \text{ kHz}$  ส่วนอีกข้อจะเป็นผลมาจากการความหนี่ยวนำสมมูลของหม้อแปลงโดยจะเกิดผลที่ความถี่ประมาณ  $10 \text{ kHz}$  เช่นกัน ส่วนหลังจากความถี่  $1 \text{ MHz}$  ขึ้นไปจะพบว่าประกอบไปด้วยผลของข้อถึง 7 ข้อด้วยกัน (เนื่องจากความชันเป็น  $-140 \text{ dB/decade}$ ) ส่วนนี้ก็น่าจะมีผลมาจากการของอุปกรณ์ตัวอื่น ๆ และข้อความถี่สูงที่สองของอุปกรณ์แต่ละตัวนั้นเอง ซึ่งส่วนนี้จะไม่จำเป็นต้องสนใจเนื่องจากความถี่ที่กำหนดส่วนເื้อของเฟสไปแล้ว ดังนั้นจากที่กล่าวมาจึงสามารถสรุปได้ว่าเสถียรภาพที่ความถี่สูงมีผลมาจากการความกว้างແບของอุปกรณ์ตัวที่ต่อวงจรให้มีอัตราขยายสูงและความหนี่ยวนำสมมูลของหม้อแปลง ซึ่งส่วนนี้ก็สามารถมาเป็นตัวกำหนดเสถียรภาพรวมของวงจรแทนที่เสถียรภาพที่ความถี่ต่ำซึ่งเป็นค่าที่ได้ออกแบบไว้ แต่ถึง

อย่างไรก็ตามระบบก็จะทำงานได้เมื่อมีเสถียรภาพต่ำ แต่จากการทดลองนั้นพบว่าระบบขาดเสถียรภาพโดยสิ้นเชิง ซึ่งแสดงว่า Yang มีพารามิเตอร์อื่นใดที่ได้ละเลยไปจากการพิจารณาอีก และสุดท้ายก็พบว่า พารามิเตอร์ตัวที่ทำให้วงจรขาดเสถียรภาพดังที่ทดลองได้คือ ค่าความจุระหว่างขดลวดของหม้อแปลงดังแสดงในรูปที่ 4.13 ซึ่งวัดค่าโดยใช้อุปกรณ์วัดค่าความจุได้เป็น  $0.25 \text{ nF}$



รูปที่ 4.13 แสดงค่าความจุແงที่เกิดในขดลวดของหม้อแปลง

จากวงจร สามารถหาพังก์ชันถ่ายโอนของวงจรย่ออยู่นี้ได้เป็น

$$\frac{V_o}{V_i}(s) = \frac{\frac{a}{C_t}s}{L_{eq}(a-1)^2s^3 + (L_{eq}(\frac{1}{R_c C_t} + \frac{a^2}{C_t R_L}) + R_{eq}(a-1)^2)s + \frac{1}{C_t}(1 + \frac{R_{eq}}{R_c} + \frac{L_{eq}}{L_m} + \frac{a^2 R_{eq}}{R_L})s + \frac{R_{eq}}{L_m C_t}}$$

.....สมการที่ 4.15

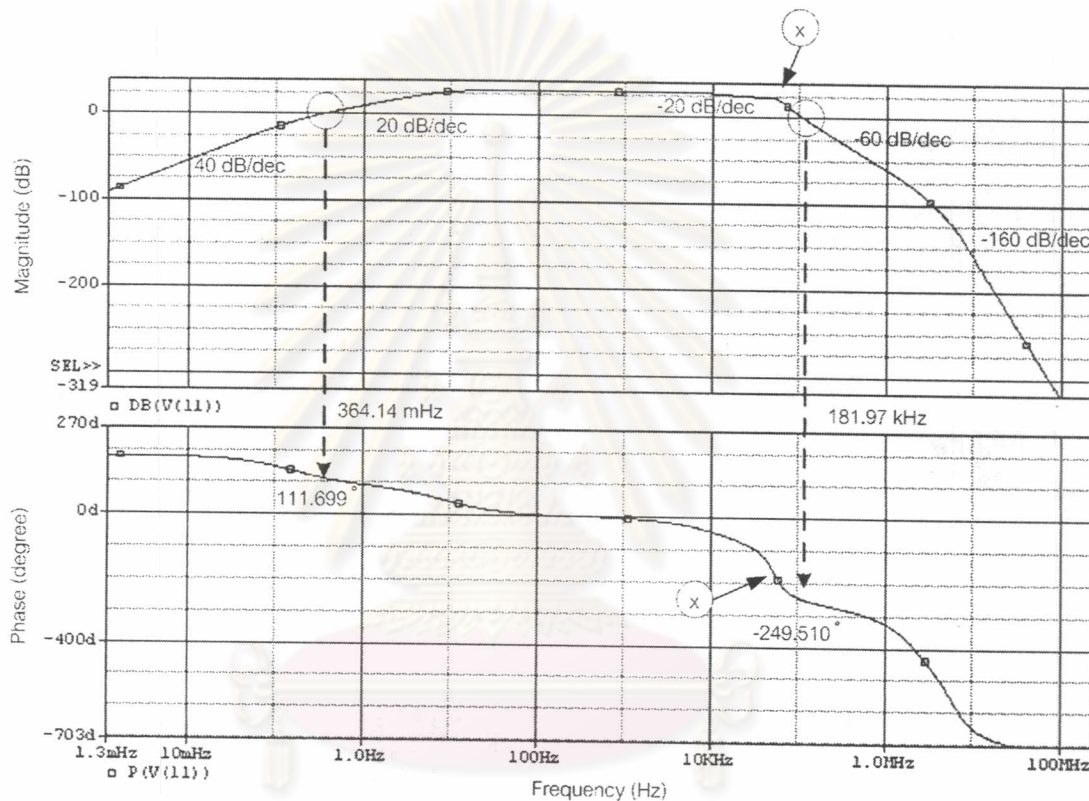
ซึ่งเมื่อแทนค่าตัวแปรลงในสมการแล้วจึงจะได้เป็น

$$\frac{V_o}{V_i}(s) = \frac{s}{(s + 1.018)(s + 94410.7 - 325088.94 \cdot i)(s + 94410.7 + 325088.04 \cdot i)}$$

.....สมการที่ 4.16

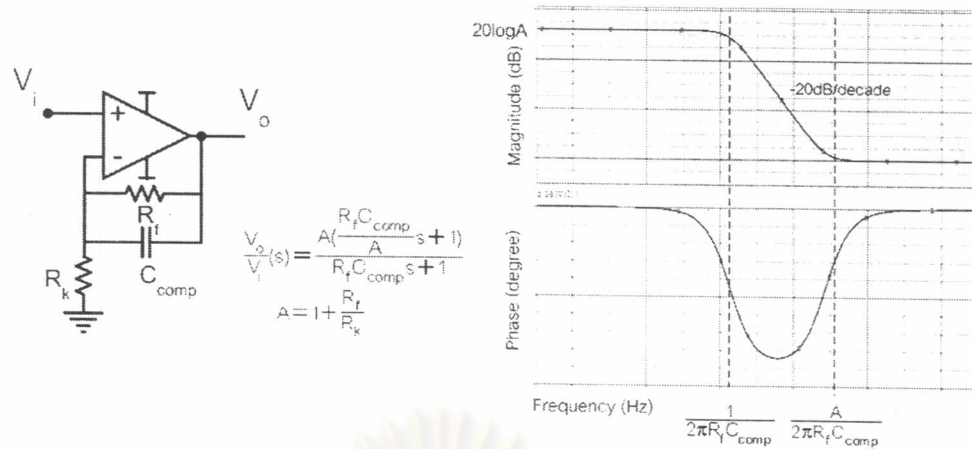
จากสมการที่ 4.16 จะเห็นว่าระบบมีศูนย์อยู่ที่จุดกำเนิด และมีขั้วสามขั้วซึ่งมีค่าเป็น  $-1.018 \text{ rad/s}$  และ  $-94410.7 \pm 325088.94i \text{ rad/s}$  ซึ่งเราจะพบว่าขั้วแรกจะเป็นขั้วที่เกิดจากความเห็นใจ นำทำแม่เหล็กของหม้อแปลงและความต้านทานที่ขานกับตัวมันดังที่ได้เคยกล่าวไว้แล้วในตอนต้น (ตำแหน่งหมายเลข 1 ในรูปที่ 4.11) ส่วนสองขั้วที่เหลือจะเป็นผลมาจากการ  $C_t$  และ  $L_{eq}$  ในวงจร มีลักษณะเป็นพังก์ชันถ่ายโอนกำลังสองดังสมการที่ 4.3 ซึ่งมีค่า  $\gamma_1$  เป็น  $53.88 \text{ kHz}$  และค่า  $\zeta$  เป็น  $0.2789$  ซึ่งจะเห็นว่าค่า  $\zeta$  นั้นมีค่าต่ำมากซึ่งทำให้ลักษณะผลตอบความถี่ของวงจรมีเฟสที่ลดลงอย่างรวดเร็วที่ความถี่  $\gamma_1$  ตั้งนั้นจากรูปที่ 4.11 จะเห็นว่าผลจากการมี  $C_t$  ของหม้อแปลงจะทำให้เฟสที่ความถี่ประมาณ  $53.88 \text{ kHz}$  ลดลงอย่างรวดเร็วมีผลทำให้ส่วนเพื่อของเฟสของวงจรตกลงอย่างมาก ซึ่งเมื่อลองเพิ่ม  $C_t$  เข้าไปในวงจรในรูปที่ 4.10 แล้วจำลองการทำงานพบว่าได้ผลตอบสนองความถี่ของระบบวงเปิดเป็นดังรูปที่ 4.14 จากนั้นจะเห็นว่าการใส่  $C_t$  ในวงจรสมมูลหม้อ

แปลงจะมีผลที่ความถี่สูงเท่านั้น โดยที่ความถี่ต่ำจะมีส่วนเพื่อของเฟสเท่าเดิมและตำแหน่งของข้อก็เป็นที่เดิม ผลจะไปปรากฏที่จุด X ซึ่งเดิมเป็นช่วงที่มีผลจากข้อของ  $L_{eq}$  อย่างเดียว (ปัจจุบันมีข้อของ  $C_t$  เพิ่มเข้ามาอีก 1 ข้อ) จะเห็นว่าผลจากการจำลองการทำงานที่ได้เป็นไปตามที่ได้กล่าวไว้ด้านบนนั่นคือ มีผลของข้อสองข้อที่ตำแหน่งประมาณ 53.88 kHz จากรูป ที่ความถี่ที่จุด X เฟสของสัญญาณออกจะลดลงอย่างรวดเร็ว (จะถูกดึงลง 180 องศาเนื่องจากมีสองข้อ) เนื่องจากค่า  $\zeta$  ที่มีค่าต่ำดังที่ได้กล่าวไว้ ทำให้ส่วนเพื่อของเฟสที่ความถี่สูงมีค่าเป็น -69.51 องศา ซึ่งแสดงให้เห็นว่าระบบขาดเสียรูปภาพ



รูปที่ 4.14 ผลตอบสนองความถี่ของระบบวงปิดเมื่อมีค่าความจุແ Pang ในวงจรสมมูลหม้อแปลง

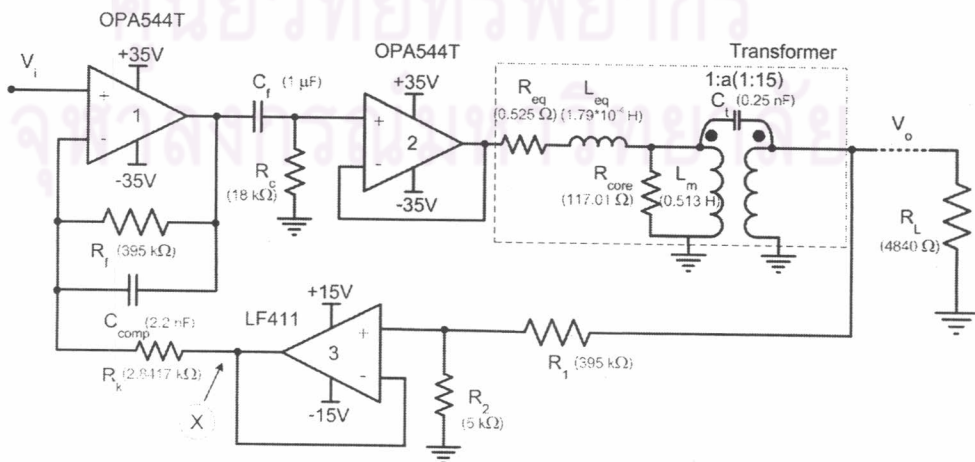
การแก้ไขเสียรูปภาพของวงจรจะทำโดยการกำหนดข้อให้ระบบวงปิดแทนข้อที่เป็นผลจากค่าความจุແ Pang ในหม้อแปลง ซึ่งในที่นี้ทำโดยใส่ตัวเก็บประจุนานกับความด้านทาน  $R_f$  ในรูปที่ 4.10 ทำให้ลักษณะวงจรกำหนดอัตราขยายในวิธีไปหน้าเป็นดังรูป



รูปที่ 4.15 วงจรปรับอัตราขยายในวิธีปหน้าที่เพิ่มตัวเก็บประจุเพื่อกำหนดข้าวให้วงจร

จากกฎปัจจุบันว่าระบบมีข้อดีอยู่ที่ความถี่  $\frac{1}{2\pi R_f C_{comp}}$  ส่วนคุณลักษณะที่ความถี่มากกว่าข้างเป็น  $A$  เท่า อัตราขยายที่ความถี่คุณลักษณะของวงจรจะมีค่าเท่าเดิมโดยไม่มีข้อจำกัดค่าความถี่ที่ใส่เข้ามาเพิ่ม ดังนั้นเราจึงสามารถเลือกค่าความถี่ที่จะนำมาใส่ได้โดยไม่ต้องคำนึงถึงอัตราขยายของวงจร เราจะเลือกค่า  $C_{comp}$  โดยมีหลักการว่า ให้ข้อที่จะออกแบบนี้ไปมีผลก่อนที่ข้อของค่าความถี่แต่ละข้อจะมีผล เพื่อให้การลดเฟสเพื่อกำหนดส่วนเพื่อของเฟสเกิดขึ้นโดยข้าวใหม่ ซึ่งจากการทดลองแทนค่าพบว่าค่าที่เหมาะสมคือ  $C_{comp} = 2.2 \text{ nF}$  ซึ่งจะทำให้วงจรขยายในส่วนนี้มีข้อดีอยู่ที่ความถี่  $183.15 \text{ Hz}$  และคุณลักษณะที่ความถี่  $72.53 \text{ kHz}$  ซึ่งเมื่อนำไปแทนในวงจรที่ออกแบบและจำลองการทำงานจะเปิดจะพบร่วมกับระบบมีส่วนเพื่อของเฟสเป็น  $99.79$  องศา แสดงให้เห็นว่าระบบมีเสถียรภาพดี

การทดสอบเสถียรภาพของระบบนี้อาจมีผลทำให้สมบัติบางประการของระบบเปลี่ยนแปลงไปได้ดังนี้ จึงจะทำการจำลองการทำงานของระบบด้วยโปรแกรม Orcad Pspice และวัดค่าสมบัติของระบบที่ในหัวข้อที่ออกแบบไว้เพื่อดูว่าสอดคล้องและยอมรับได้หรือไม่ โดยระบบที่นำมาจำลองการทำงาน มีลักษณะดังนี้



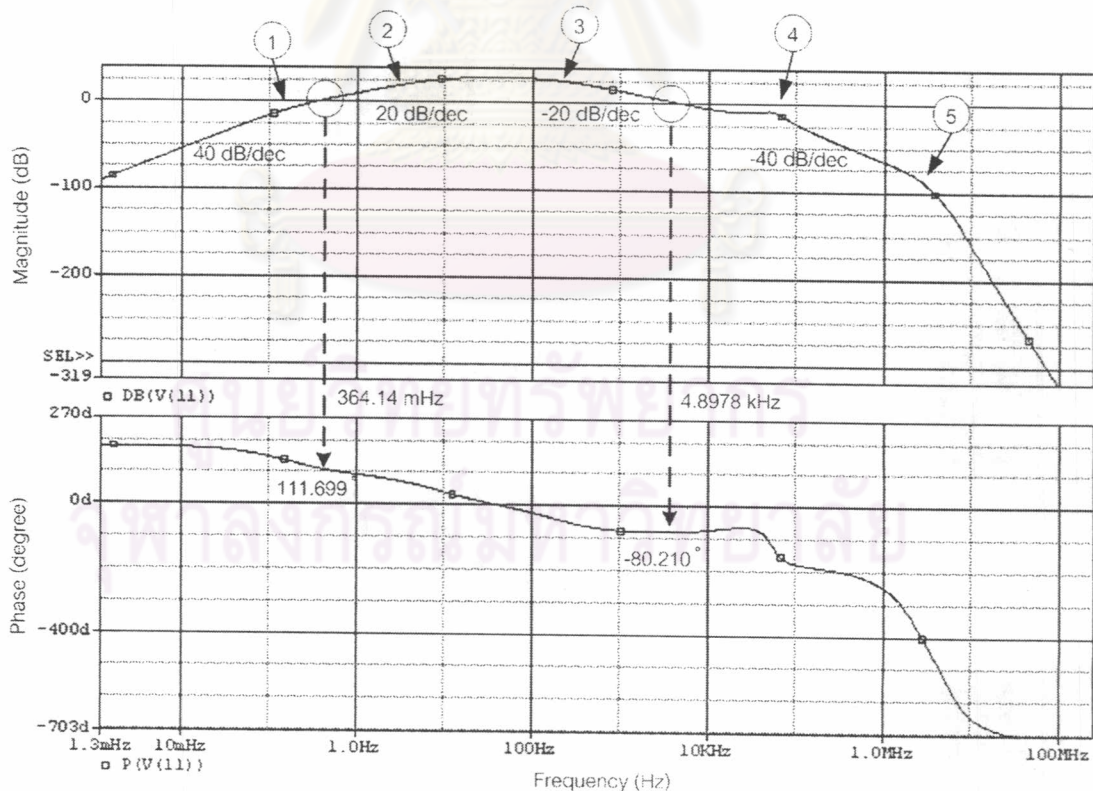
รูปที่ 4.16 วงจรขยายแรงดันที่ผ่านการทดสอบเสถียรภาพแล้ว

## การทดสอบสมบัติของวงจรจะทดสอบในหัวข้อต่าง ๆ ต่อไปนี้

### 1. เสถียรภาพของวงจร

เราจะดูเสถียรภาพของวงจรโดยดูจากส่วนເຝື່ອຂອງເຟສຂອງຮະບບ ທີ່ສາມາດຫາໄດ້ຈາກການ  
ຜລຕອບສນອງທາງຄວາມຄື່ອງຮະບບວງເປີດທີ່ເປີດວງຈຣທີ່ຈຸດ  $\times$  ໃນຮູບທີ່ 4.16 ທີ່ມີລັກຂະນະດັງຮູບທີ່  
4.17 ທີ່ຈະເຫັນວ່າທີ່ຄວາມຄື່ຕໍ່ (ຕຳແໜ່ງໝາຍເລີ້ 1 ແລະ ໝາຍເລີ້ 2) ຈະເປັນດັ່ງທີ່ໄດ້ອີນບາຍໄວ້  
ແລ້ວໃນຮູບທີ່ 4.11 ທີ່ຮະບບມີຄ່າສ່ວນເຝື່ອຂອງເຟສເປັນ 68.301 ອົງສາ ສ່ວນທີ່ຄວາມຄື່ສູງ ຮະບບຈະຖືກ  
ຊັດເຍດໍາລັງໂດຍການກຳນົດຂ້າວແລະ ສູນຍົງເພີ່ມ ທຳໄໝຮະບບມີສ່ວນເຝື່ອຂອງເຟສເປັນ 99.79 ອົງສາ ທີ່ຈາກຄ່າ  
ສ່ວນເຝື່ອຄວາມຄື່ທີ່ສອງຈະເຫັນວ່າຮະບບມີເສັ່ນເວັບໄວ້

ຈາກຮູບທີ່ 4.17 ການໃສ່ຕົວເກີບປະຈຸເພື່ອຊັດເຍເສັ່ນເວັບໄວ້ ຈະທຳໄໝເກີດຂ້າທີ່ຄວາມຄື່ 183.15  
Hz ແລະ ສູນຍົງທີ່ຄວາມຄື່ 72.53 kHz ດັ່ງໄດ້ລ່າວໄວ້ກ່ອນໜັນນີ້ ທີ່ຂ້າຈະມີຜລໃນຮະບບວງເປີດໃນ  
ຕຳແໜ່ງໝາຍເລີ້ 3 ໃນຮູບ ທຳໄໝກາຟມີຄວາມຂັ້ນເປັນ -20 dB/decade ຈົນມາຖື່ງຕຳແໜ່ງໝາຍ  
ເລີ້ 4 ຈະເຫັນຜລຂອງຂ້າສອງຂ້າທີ່ເກີດຈາກຄ່າຄວາມຈຸແຟງຮ່ວ່າງຂດລວດໃນໜົມ້ອແປລັງແລະຄ່າຄວາມ  
ເໝີຍວ່ານຳສຸມມູລໃນໜົມ້ອແປລັງທີ່ຈະເຫັນວ່າຜລຂອງຂ້າຈາກວງຈຣຊັດເຍຈະເປັນຕົວກຳນົດສ່ວນເຝື່ອຂອງ  
ເຟສກ່ອນທີ່ຈະເຫັນຜລຈາກຄ່າຄວາມຈຸແຟງ ສ່ວນທີ່ຕຳແໜ່ງໝາຍເລີ້ 5 ກີ່ຈະເປັນຜລຂອງຂ້າວີ່ນໆ ບໍ່ ຕາມທີ່  
ໄດ້ລ່າວໄວ້ແລ້ວກ່ອນໜັນນີ້



ຮູບທີ່ 4.17 ຜລຕອບສນອງທາງຄວາມຄື່ຂອງຮະບບວງເປີດຂອງວົງຈຣທີ່ຊັດເຍເສັ່ນເວັບໄວ້

## 2. ความต่างเฟสของสัญญาณออกเทียบกับสัญญาณเข้า

จากการจำลองการทำงานของวงจร (ระบบวงปิด) จะพบว่าสัญญาณแรงดันออกจากวงจรจะมีเฟสตามสัญญาณแรงดันเข้าอยู่  $0.1048$  องศา สำหรับกรณีมีโหลด  $R_L$  ส่วนกรณีไม่มีโหลดสัญญาณแรงดันออกจะตามสัญญาณเข้าอยู่  $0.0934$  องศา ซึ่งน้อยกว่า  $0.5$  องศาตามที่ได้ออกแบบไว้

## 3. การคงค่าแรงดันของวงจร

การจำลองการคงค่าแรงดันทำโดยจำลองกรณีที่มีโหลดพิกัด  $R_L$  อยู่ในวงจรและกรณีไม่มีโหลด  $R_L$  อยู่ในวงจรเทียบกัน แล้วนำขนาดมาคำนวณตามสมการที่  $4.10$  ปรากฏว่าได้ค่าการคงค่าแรงดันเป็น  $0.09\%$  ซึ่งน้อยกว่าขอบเขตที่กำหนดคือ  $0.1\%$  การที่การคงค่าแรงดันมีค่ามากกว่าที่คำนวณได้ในตอนต้นนั้นก็เนื่องมาจาก การที่วงจร มี  $R_{eq}$  และ การประมาณค่า  $r_o$  ของอุปกรณ์ปั้นเอง

## 4. ช่วงเวลาเข้าที่ของวงจร

เมื่อจำลองการทำงานในโอดemenของเวลาโดยใส่ขนาดค่าよอดของสัญญาณโซน์ด้านเข้าเป็น  $5\text{ V}$  ปรากฏว่าที่สถานะคงตัว วงจรจะให้ขนาดสัญญาณออกที่มีขนาดค่าよอดเป็น  $387.2\text{ V}$  ส่วนที่เวลา  $0.2$  วินาที ขนาดของสัญญาณออกจะเข้าที่ถึงค่า  $385.13\text{ V}$  ซึ่งมากเกิน  $99\%$  ของค่าที่สถานะคงตัว (ซึ่งคิดเป็น  $383.33\text{ V}$ ) ดังนั้นระบบมีความเร็วในการตอบสนองสัญญาณเข้ามากพอผ่านขอบเขตที่กำหนด

## 5. อัตราขยายของวงจร

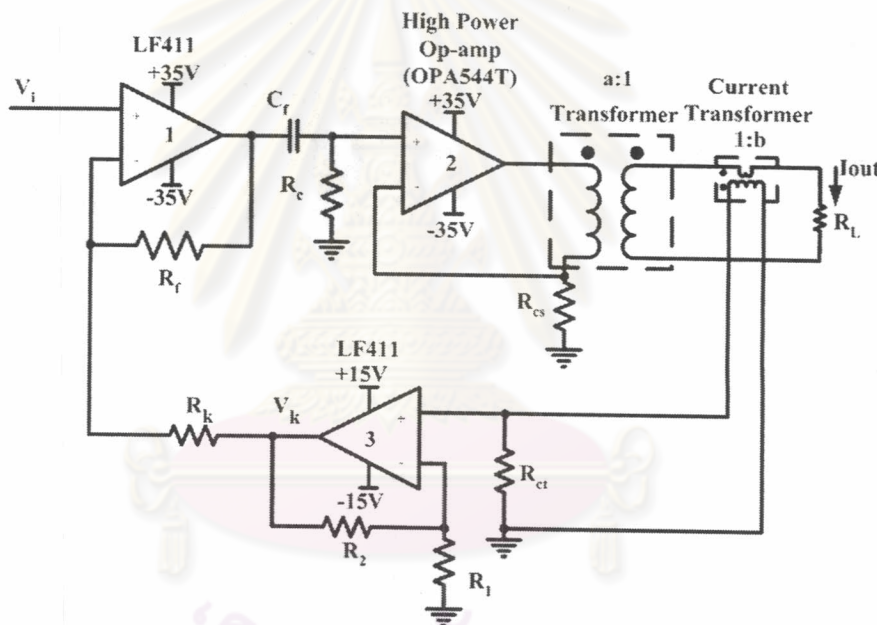
จากการจำลองการทำงานโดยหาผลตอบทางความถี่จะพบว่าวงจร มีอัตราขยายที่ความถี่ประมาณ  $50\text{ Hz}$  เป็น  $77.44$  เท่า ซึ่งจะเห็นว่าไม่เท่ากับ  $80$  เท่าพอดีตามที่ได้ออกแบบไว้ ทั้งนี้ก็เนื่องมาจากค่าอัตราขยายในวิถีไปหน้า (ค่า  $A$  ในรูปที่  $4.4$ ) มีค่าไม่สูงพอ แต่ค่านี้ก็ยังยอมรับได้เนื่องจากสามารถสร้างสัญญาณออกที่มีขนาดถึง  $250\text{ V}_{rms}$  ได้ (สร้างได้ถึง  $273.79\text{ V}_{rms}$ ) ต้องมีการปรับเทียบขนาดสัญญาณที่ส่วนสร้างสัญญาณต้นแบบอีกด้วย

จะเห็นว่าค่าสมบัติต่าง ๆ ของวงจรที่ออกแบบมีค่าไม่ตรงกับค่าที่คำนวณกลับหลังออกแบบ ทั้งนี้ก็ เพราะระบบที่ถูกจำลองการทำงานนั้นได้เพิ่มพารามิเตอร์เข้าไปจากวงจรต้นแบบที่ทำ การวิเคราะห์เพื่อให้ผลการวิเคราะห์ใกล้เคียงความจริงมากขึ้น นอกจากนี้ในการออกแบบยังใช้การประมาณอุปกรณ์ให้เป็นแบบอุดมคติทั้งหมดด้วย ดังนั้นพารามิเตอร์ดังกล่าวอาจจะส่งผลให้ผลการจำลองการทำงานที่ได้ไม่ตรงกับค่าที่คำนวณ

### 4.3 การออกแบบวงจรแปลงแรงดันเป็นกระแส

#### 4.3.1 โครงสร้างของวงจรแปลงแรงดันเป็นกระแส

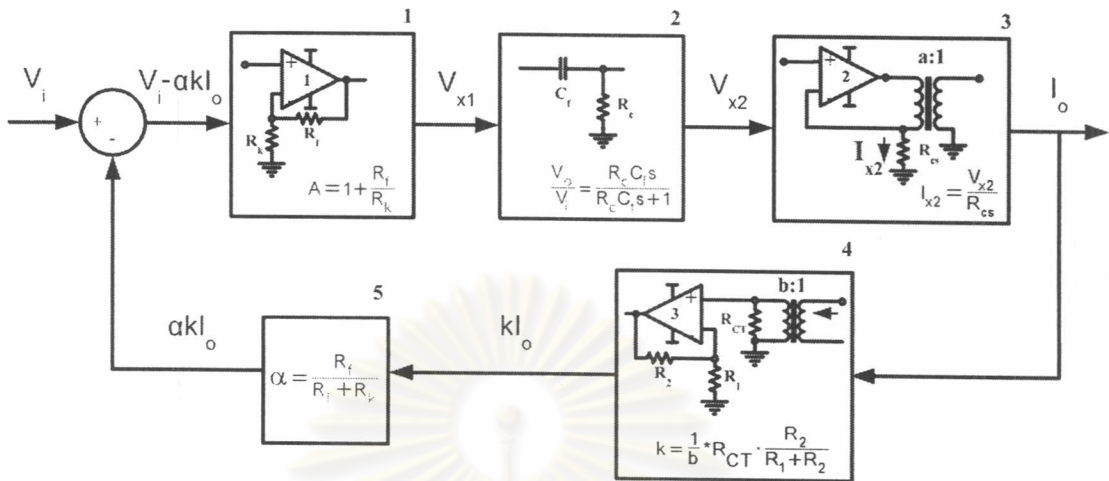
วงจรแปลงแรงดันเป็นกระแสรับแรงดันเข้าเป็นสัญญาณไซน์ที่มีค่าอยู่ในช่วง 5 V ความถี่ 45-55 Hz วงจรจะแปลงสัญญาณแรงดันด้านเข้าให้เป็นกระแสและขยายสัญญาณกระแสหนึ่งเพื่อจ่ายเป็นสัญญาณกระแสทางด้านออกที่ขนาดไม่ต่างกว่า  $\pm 50 A_{rms}$  (อัตราขยายแรงดันเป็นกระแสประมาณ  $10 A_{rms}/V_p$ ) การคงค่ากระแสด้านออกของวงจร (Current regulation) มีค่าไม่เกิน 0.1 % ที่ให้ลดของวงจรจ่ายกระแสด้านออกไม่เกิน  $10 m\Omega$  (ให้ลดปกติ  $5 m\Omega$ ) ความเพี้ยนของกระแสข้าออกไม่เกิน 2 % วงจร มีเสถียรภาพที่ดี และมีช่วงเวลาเข้าที่ถึงค่า 1 % ของค่าที่สถานะอยู่ตัวไม่เกิน 0.2 s ส่วนความคลาดเคลื่อนของเฟสของสัญญาณกระแสด้านออกเมื่อเทียบกับสัญญาณแรงดันด้านเข้าต้องมีค่าไม่เกิน 0.5 องศา โครงสร้างของวงจรเป็นดังรูปที่ 4.18



รูปที่ 4.18 โครงสร้างของวงจรแปลงแรงดันเป็นกระแส

หลักการออกแบบจะเน้นกับวงจรขยายแรงดันนั่นคือวงจรประกอบไปด้วยวิธีไปหน้าและวิธีป้อนกลับโดยในวิธีไปหน้าจะประกอบด้วยส่วนกำหนดอัตราขยายของวิธีไปหน้า ส่วนกันสัญญาณของฟrequency และส่วนแปลงสัญญาณแรงดันเป็นกระแสและขับหม้อแปลง ส่วนในวิธีป้อนกลับจะประกอบไปด้วยตัวแปลงสัญญาณป้อนกลับจากสัญญาณกระแสเป็นสัญญาณแรงดันและวงจรปรับขนาดสัญญาณให้เหมาะสมเพื่อที่จะป้อนกลับต่อไป วงจรที่ออกแบบใช้อบแอมป์ OPA544T ของบริษัทเท็กซัส อินสตรูเม้นท์ เช่นเดียวกับในวงจรแรงดันโดยในที่นี่ใช้เพียงตัวเดียวทั้งนี้เนื่องจากในส่วนวงจรกำหนดอัตราขยายของวิธีไปหน้านั้นไม่จำเป็นต้องทำงานที่ขนาดสัญญาณสูง ทำให้ในส่วนนี้และส่วนปรับขนาดสัญญาณป้อนกลับสามารถใช้อบแอมป์กำลังต่ำ

เบอร์ LF411 ได้แทน เรากำลังแยกของส่วนต่าง ๆ ในวงจรแปลงแรงดันเป็นกระแสได้ดังรูปที่ 4.19

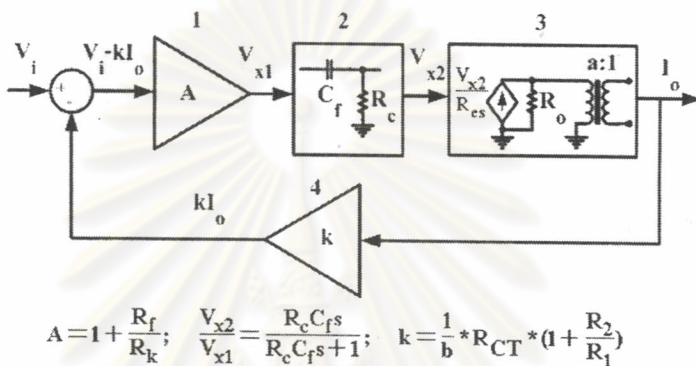


รูปที่ 4.19 โครงสร้างวงจรแปลงแรงดันเป็นกระแสของแยกเป็นส่วนๆ

จากรูป วงจรอปแอมป์ในบล็อกหมายเลข 1 ทำหน้าที่กำหนดอัตราขยายในวิธีไปหน้าของวงจร โดยอัตราขยายสามารถหาได้จากพารามิเตอร์ในวงจร ( $R_f$  และ  $R_k$ ) ออปแอมป์ที่ใช้คือ LF411 ซึ่งเป็นอปแอมป์กำลังต่ำซึ่งต่างจากของวงจรขยายแรงดันที่ใช้อปแอมป์ที่สามารถจ่ายแรงดันได้สูงในส่วนนี้ ทั้งนี้ก็เนื่องมาจากในส่วนวงจรขับสัญญาณ (วงจรในบล็อกหมายเลข 3) นั้นไม่ต้องการขนาดสัญญาณเข้าที่สูงนั้นเองโดยรายละเอียดจะได้กล่าวในภายหลัง วงจรในบล็อกหมายเลข 2 ทำหน้าที่กันสัญญาณอฟเซตเพื่อป้องกันไม่ให้มื้อแปลงในวงจรส่วนถัดไปเกิดความเสียหาย สำหรับวงจรในบล็อกหมายเลข 3 เป็นวงจรแปลงแรงดันเป็นกระแสและขยายสัญญาณ ออปแอมป์ที่ใช้ในวงจรนี้เป็นอปแอมป์กำลังสูงเนื่องจากต้องจ่ายสัญญาณทั้งแรงดันและกระแสเพื่อขับมื้อแปลงโดยการต่อวงจรสังขันในรูปเป็นการต่อเพื่อให้อปแอมป์แปลงสัญญาณแรงดันเป็นกระแสที่เป็นอัตราส่วนกับขนาดแรงดันด้านเข้าและขับผ่านมื้อแปลง มื้อแปลงกำลังทำหน้าที่ขยายขนาดสัญญาณกระแสและส่งผ่านโหลดของวงจรซึ่งเป็นสายไฟที่ทำหน้าที่เป็นทางผ่านของกระแสไปสู่มิตอร์ที่ถูกทดสอบความแม่นยำและลับมาที่วงจรจ่ายกระแส สำหรับอัตราขยายของการแปลงแรงดันเป็นกระแสจะขึ้นกับค่า  $R_{cs}$  ดังสมการในบล็อกที่ 3 กระแสที่ผ่านมื้อแปลงจะถูกขยายขนาด  $a$  เท่า (ตามอัตราส่วนจำนวนรอบของมื้อแปลง) และส่งผ่านความต้านทานโหลด  $R_L$  ต่อไป ซึ่งสังเกตว่าอัตราส่วนจำนวนรอบของมื้อแปลงที่ใช้ในวงจรแปลงแรงดันเป็นกระแสนี้จะกลับกับอัตราส่วนจำนวนรอบของมื้อแปลงในวงจรขยายแรงดันเนื่องจากในที่นี่ต้องการขยายกระแสแทนแรงดันนั้นเอง วงจรในบล็อกที่ 4 ประกอบไปด้วยตัวแปลงสัญญาณป้อนกลับคือมื้อแปลงกระแส (Current transformer) ที่ทำหน้าที่แปลงสัญญาณกระแสเด้านอกเป็นแรงดันเพื่อป้อนกลับขนาดสัญญาณที่ได้จะถูกกำหนดโดยอัตราส่วนจำนวนรอบ  $b$  และความต้าน

ท่านให้ลดที่นำมาต่อ  $R_{CT}$  สัญญาณแรงดันที่ได้จะถูกนำไปขยายอีกครั้งด้วยวงจรอปเอนปีเพื่อให้มีขนาดเหมาะสมและยังเป็นการกันไม่ให้เกิดการผสานกระแสระหว่างวงจรกำหนดอัตราขยายในวิธีไปหน้ากับวงจรป้อนกลับอีกด้วย  $k$  ในรูปคืออัตราขยายของการป้อนกลับโดยมีค่าเท่ากับอัตราส่วนระหว่างแรงดันป้อนกลับต่อสัญญาณกระแสเด้านอกซึ่งมีขนาดเป็นดังในบล็อกที่ 4 ในรูปส่วนบล็อกที่ 5 แสดงถึงค่าสัมประสิทธิ์  $\alpha$  ที่เกิดจากลักษณะการต่อวงจร

จากข้อมูลที่กล่าวมาข้างต้นทำให้สามารถเขียนวงจรในรูปแผนภาพบล็อกโดยประมาณค่า  $\alpha$  เป็น 1 ได้ดังนี้



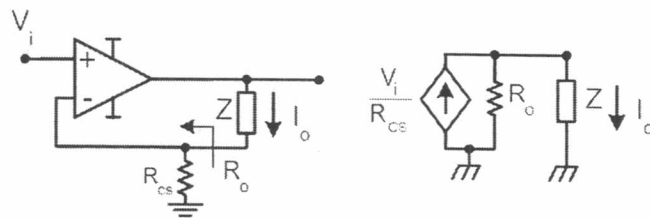
รูปที่ 4.20 แผนภาพบล็อกของวงจรแปลงสัญญาณแรงดันเป็นกระแส

เช่นเดียวกับวงจรขยายแรงดันนั่นคือ บล็อกหมายเลข 1 และ 4 แทนด้วยอัตราขยายของวงจร สำหรับบล็อกหมายเลข 3 เนื่องจากวงจรอปเอนปีทำหน้าที่เป็นแหล่งกระแสเด่นๆ ของสัญญาณให้กับหม้อแปลงดังนั้นจึงแทนวงจรอปเอนปีด้วยแหล่งจ่ายกระแสควบคุมด้วยแรงดัน (Voltage control current source ;VCCS) ที่มีอัตราขยายแรงดันเป็นกระแสถูกกำหนดโดย  $R_{cs}$  ร่วมกับความต้านทานขาออกของแหล่งกระแส  $R_o$  รายละเอียดของวงจรนี้จะถูกกล่าวถึงในหัวข้อถัดไป

#### 4.3.2 ภารวิเคราะห์และเลือกค่าพารามิเตอร์ของวงจร

ลักษณะสมบัติของวงจรที่ต้องการวิเคราะห์คือ เสถียรภาพของวงจร ความต่างเฟสของสัญญาณด้านนอกของวงจรเทียบกับสัญญาณด้านเข้า และการคงค่ากระแสเด่นของวงจร โดยทั้งหมดนี้สามารถวิเคราะห์ได้โดยใช้วงจรสมมูลของวงจร โดยในอันดับแรกจะขอกล่าวถึงวงจรขับกระแสที่ใช้ในวงจร (วงจรในบล็อกที่ 3 รูปที่ 4.19) ก่อนดังวงจรที่แสดงในรูปที่ 4.21

วงจรขับกระแสทำหน้าที่แปลงแรงดันขาเข้าของวงจรเป็นกระแสเด่นของวงจร ของวงจร โดยจากรูป  $A_v$  คือ อัตราขยายวงเปิด (Open-loop gain) ของอปเอนปีซึ่งมีค่าสูงมาก ทำให้สามารถประมาณอัตราการแปลงแรงดันเป็นกระแสและความต้านทานขาออกได้ดังรูปที่ 4.21 ซึ่งจะเห็นว่างจริงมีลักษณะของแหล่งกระแสเด่นนี้คือความต้านทานขาออกมีค่าสูงเนื่องจากมีอัตราขยายวงเบิดมากคุณด้วยนั่นเอง

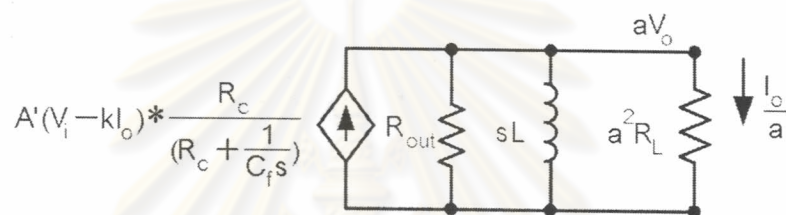


$$\frac{I_o}{V_i} = \frac{A_v}{(Z + R_{cs}) + A_v R_{cs}} \approx \frac{1}{R_{cs}}$$

$$R_o = r_o + R_{cs}(1 + A_v) \approx A_v R_{cs}$$

รูปที่ 4.21 วงจรขับกระแสที่ใช้ในวงจรแปลงแรงดันเป็นกระแส

จากวงจรด้านข่าย สามารถเขียนเป็นวงจรสมมูลได้ดังวงจรด้านขวา และจะนำไปใช้เขียนวงจรสมมูลในบล็อกที่ 3 ในรูปที่ 4.19 ได้ดังรูปที่ 4.22



รูปที่ 4.22 วงจรสมมูลของวงจรแปลงแรงดันเป็นกระแส

วงจรสมมูลในรูปเป็นวงจรที่มองที่ผิวชั้ยมือของหม้อแปลงเมื่อดูจากการในบล็อกที่ 3 ในรูปที่ 4.20 อัตราขยายของแหล่งจ่ายกระแสควบคุมด้วยแรงดันประกอบไปด้วยสามส่วน คือ อัตราขยายของวงจรอปเปอเรชันเป็น 1 อัตราขยายของวงจรกันออกฟ์เซต และอัตราขยายของวงจรแปลงแรงดันเป็นกระแส โดยในรูปที่ 4.22 นั้น ค่า  $A'$  จะประกอบด้วย  $A_v * A_i$  เมื่อ  $A_v$  หมายถึง อัตราขยายแรงดันของวงจรอปเปอเรชันเป็น 1 และ  $A_i$  คืออัตราขยายของวงจรแปลงแรงดันเป็นกระแส  $R_{out}$  คือ ความต้านทานของวงจรอปเปอเรชันที่ต่อเป็นแหล่งจ่ายกระแส สำหรับ วงจรสมมูลของหม้อแปลงจะแทนด้วย  $L$  ซึ่งก็คือความเหนี่ยวน้ำทำแม่เหล็กของหม้อแปลง ส่วน ค่าพารามิเตอร์อื่นจะละเลยไป ค่า  $R_L$  คือความต้านทานของสายไฟด้านนอกของวงจรที่ถูกย้ายข้ามหม้อแปลงมาด้วยอัตราขยายกระแสเป็น  $a$   $V_i$  คือ แรงดันด้านเข้าของวงจร ส่วน  $V_o$  และ  $I_o$  เป็นค่าแรงดันและกระแสด้านออกของวงจรที่ถูกย้ายข้ามหม้อแปลงมา เช่น กัน

ฟังก์ชันถ่ายโอนของวงจรในรูปที่ 4.22 เป็นดังนี้

$$\frac{I_o}{V_i} = \frac{aAs^2}{(\frac{a^2 \cdot R_L}{R_{out}} + 1 + aAk)s^2 + (\frac{a^2 \cdot R_L}{R_{out} \cdot R_c \cdot C} + \frac{1}{R_c \cdot C} + \frac{a^2 \cdot R_L}{L})s + \frac{a^2 R_L}{L \cdot R_c \cdot C}}$$

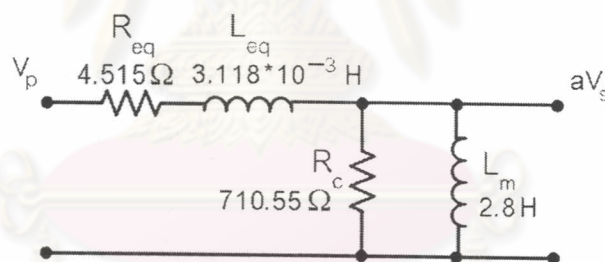
.....สมการที่ 4.17

สำหรับการออกแบบในขั้นต้นจะเลือกค่าพารามิเตอร์ให้ง่ายโดยมีขั้นตอนดังนี้

1. เลือกค่าอัตราส่วนจำนวนรอบของหม้อแปลงขยายกระแส โดยพิจารณาจากการที่ต้องออกแบบปีสามารถจ่ายแรงดันได้ในช่วง  $-30 \text{ V}$  ถึง  $30 \text{ V}$  และจ่ายกระแสได้ถึง  $2 \text{ A}$  ดังนั้นจึงเลือกค่าอัตราส่วนจำนวนรอบของออกแบบเป็น  $40:1$  นั่นคือค่า  $a = 40$  เพราะจะทำให้ออกแบบปีจ่ายแรงดัน  $14.14 \text{ V}_p$  และกระแส  $1.25 \text{ A}_{rms}$  เพื่อสร้างกระแส  $50 \text{ A}_{rms}$  ที่โหลดของวงจรเป็น  $5 \text{ m}\Omega$  ซึ่งเป็นค่าที่ต้องออกแบบปีสามารถจ่ายได้

2. เลือกค่าอัตราขยายป้อนกลับของวงจรจากขนาดสัญญาณกระแสขนาดสูงสุดของวงจรที่ต้องการคือ  $50 \text{ A}_{rms}$  โดยจะให้ป้อนกลับไปหักล้างกับสัญญาณเข้าที่เป็นไซนุสoidal  $3.535 \text{ V}_{rms}$  ( $5 \text{ V}_p$ ) เนื่องจากหม้อแปลงกระแสที่ใช้มีอัตราส่วนจำนวนรอบเป็น  $2500:1$  ( $b=2500$ ) และใช้ความต้านทานโหลด ( $R_{CT}$ ) เป็น  $50 \Omega$  (สามารถวัดกระแสได้ในช่วง  $0 - 70 \text{ A}_{rms}$ ) ดังนั้นจากสมการของค่า  $k$  ในรูปที่ 4.20 จึงเลือกค่าอัตราขยายของวงจรออกแบบเป็น  $3.5$  เท่า ( $R_1=25 \text{ k}\Omega$ ,  $R_2=10 \text{ k}\Omega$ ) ซึ่งค่านี้จะทำให้วงจรดักสัญญาณป้อนกลับดักสัญญาณที่  $50 \text{ A}_{rms}$  และป้อนกลับเป็นสัญญาณขนาดประมาณ  $3.5 \text{ V}_{rms}$  ซึ่งสามารถคำนวณค่า  $k$  ได้เป็น  $0.07 \text{ A}_{rms}/\text{V}_{rms}$

3. ค่าความเห็นใจทำแม่เหล็กของหม้อแปลงหาได้จากการสมมูลของหม้อแปลงซึ่งหาโดยวิธีทดสอบเปิดวงจรและลดวงจรได้ดังรูป



รูปที่ 4.23 วงจรสมมูลของหม้อแปลงขยายกระแส

วงจรสมมูลตามรูปเป็นวงจรสมมูลทางผังปฐมภูมิของหม้อแปลง (ผังวงจรออกแบบปี) ส่วนประกอบในวงจรเป็นดังที่ได้อธิบายไปแล้วในหัวข้อวงจรขยายแรงดัน ซึ่งจากรูปเราจะพบว่าค่าความเห็นใจทำแม่เหล็กมีค่าเป็น  $2.8 \text{ H}$

4. ค่าความต้านทานในวงจรขับกระแส  $R_{cs}$  เลือกโดยจากค่ากระแสขนาดที่ต้องการคือ  $50 \text{ A}_{rms}$  จะต้องการกระแสเข้า  $1.25 \text{ A}_{rms}$  (ตามอัตราส่วนจำนวนรอบของหม้อแปลงขยายกระแส 40 เท่า) ค่ากระแสนี้จะต้องให้ผ่าน  $R_{cs}$  ด้วยดังนั้นจะเลือกค่า  $R_{cs}$  นี้ไม่ให้มีค่าสูงเกินไปเพื่อที่จะให้เกิดแรงดันตกคร่อมตัวมันเองมีค่าต่ำรวมไปถึงกำลังงานสูญเสียด้วย แต่จะเลือกค่าต่ำมากก็ไม่ได้ เพราะว่าค่าความต้านทานนี้เป็นตัวกำหนดอัตราขยายของวงจรขับแรงดัน (ดังแสดงในรูปที่ 4.21) ถ้าเลือกค่าต่ำมากอัตราขยายของการแปลงแรงดันเป็นกระแสจะมีค่าสูงทำให้ต้องใส่สัญญาณเข้า

ขนาดเล็กลงซึ่งอาจเป็นสาเหตุให้สัญญาณออกมีความเพี้ยนได้เนื่องจากสัญญาณรบกวน ดังนั้น จึงเลือกค่า  $R_{cs}$  เป็น  $1 \Omega$

5. ค่าความต้านทานข้ออกของวงจรขับกระแสจากผลคูณของอัตราขยายวงเบิดของ ออปแอมป์  $A_v$  กับความต้านทานในวงจรขับกระแส  $R_{cs}$  ตามรูปที่ 4.21 โดยจากคู่มือของออป แอมป์ OPA544T จะพบว่าอัตราขยายวงเบิดของวงจรที่ความถี่  $50 \text{ Hz}$  มีค่าประมาณ  $90$  เดซิเบล ซึ่งคิดเป็นจำนวนเท่าได้  $31622$  เท่า ดังนั้นในการออกแบบจึงใช้ค่าความต้านทานข้ออก  $R_{out}$  นี้ เป็น  $31.6 \text{ k}\Omega$

6. ค่าความต้านทานโหลดของวงจร  $R_L$  เป็นความต้านทานของสายไฟที่เป็นทางผ่านของ กระแสข้ออก สำหรับในวิทยานิพนธ์นี้กำหนดให้ค่าความต้านทานข้ออกมีค่าได้ไม่เกิน  $10 \text{ m}\Omega$  (สภาพปกติค่า  $R_L$  จะเป็น  $5 \text{ m}\Omega$ )

เข่นเดียวกับวงจรแรงดัน เราจะเลือกค่าพารามิตเตอร์ที่เหลือ ซึ่งก็คือความต้านทานก้น ออฟเซต  $R_c$  ตัวเก็บประจุกันออฟเซต  $C_f$  และอัตราขยายในวิถีไปหน้า A ด้วยข้อกำหนดของวงจร ในหัวข้อต่อไปนี้ ดังนี้

### 1. เสถียรภาพของวงจร

เข่นเดียวกับวงจรขยายแรงดัน จากสมการที่ 4.17 เราจะมองสัมประสิทธิ์ของ  $s$  ในพังก์ชัน ส่ายโอนในรูปของตัวแปร  $A, B, C$  และ  $D$  ได้ดังนี้

$$\frac{I_o}{V_i}(s) = \frac{As^2}{Bs^2 + Cs + D} \quad \text{สมการที่ 4.18}$$

โดยที่

$$A = aA$$

$$B = \frac{a^2 \cdot R_L}{R_{out}} + 1 + aAk$$

$$C = \frac{a^2 \cdot R_L}{R_{out} \cdot R_c \cdot C} + \frac{1}{R_c \cdot C} + \frac{a^2 \cdot R_L}{L}$$

$$D = \frac{a^2 R_L}{L \cdot R_c \cdot C}$$

จากที่ได้กล่าวไว้แล้วในเรื่องวงจรขยายแรงดัน หัวข้อเสถียรภาพของวงจร เราจะใช้ข้อ กำหนดเดียวกันสำหรับวงจรกระแสนี้นั่นคือ  $\zeta > 0.7$  ซึ่งทำให้ได้สมการที่ระบุขอบเขตของพารามิตเตอร์เป็น

$$A < \left[ \left( \frac{a^2 R_L}{R_{out} R_c C_f} + \frac{1}{R_c C_f} + \frac{a^2 R_L}{L} \right)^2 \cdot \frac{R_c C_f L}{a^2 R_L} \cdot \frac{1}{1.96} - 1 - \frac{a^2 R_L}{R_{out}} \right] \cdot \frac{1}{ak} \dots \text{สมการที่ 4.19}$$

ซึ่งเมื่อแทนค่าพารามิตเตอร์ที่ได้กำหนดไว้จะได้เป็น (แทนค่า  $R_L$  เป็น  $10 \text{ m}\Omega$ )

$$A < \left[ \left( \frac{5.06 \cdot 10^{-4}}{R_c C_f} + \frac{1}{R_c C_f} + 5.714 \right)^2 \cdot \frac{R_c C_f}{5.714} \cdot \frac{1}{1.96} - 1 - 5.06 \cdot 10^{-4} \right] \cdot 0.357$$

..... อสมการที่ 4.20

### 2. ความต่างเฟสของสัญญาณออก

เช่นเดียวกับวงจรเรงดัน ความต่างเฟสของสัญญาณออกเทียบกับสัญญาณเข้าจะหาได้ดัง สมการที่ 4.7 ซึ่งเมื่อจำกัดค่า  $\omega$  ให้มีได้ไม่เกิน  $0.5$  องศา และแทนค่าพารามิเตอร์ต่าง ๆ ลงไปจะได้อสมการกำหนดขอบเขตเป็น

$$A > \left[ \left( \frac{a^2 R_L}{L} + \frac{a^2 R_L}{R_{out} R_c C_f} + \frac{1}{R_c C_f} \right) * \frac{\omega}{8.727 \cdot 10^{-3}} + \frac{a^2 R_L}{R_c C_f L} - \left( \frac{a^2 R_L}{R_{out}} + 1 \right) * \omega^2 \right] * \frac{1}{a k^2}$$

..... อสมการที่ 4.21

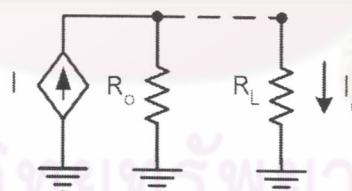
เมื่อแทนค่าพารามิเตอร์ที่ได้กำหนดค่าไว้แล้วโดยใช้  $R_L$  เป็น  $10 \text{ m}\Omega$  เนื่องจากที่โหลดค่านี้จะมีการเลื่อนเฟสที่สัญญาณออกมากที่สุด จะได้

$$A > \left[ \left( 5.714 + \frac{5.06 \cdot 10^{-4}}{R_c C_f} + \frac{1}{R_c C_f} \right) * \frac{314159}{8.727 \cdot 10^{-3}} + \frac{5.714}{R_c C_f} - \left( 5.06 \cdot 10^{-4} + 1 \right) * 314159^2 \right] * 3.619 \cdot 10^{-6}$$

..... อสมการที่ 4.22

### 3. การคงค่ากระแส

การคงค่ากระแสคือความสามารถในการรักษาขนาดกระแสขาออกให้คงที่เมื่อโหลดของวงจรเปลี่ยนไปโดยบอกค่าเป็นเบอร์เซ็นต์ สำหรับในวงจรแปลงแรงดันเป็นกระแสนี้เราจะทำการคงค่ากระแสโดยหาความต้านทานขาออกของวงจร ดังกรณีตัวอย่างดังนี้



รูปที่ 4.24 วงจรสมมูลเพื่อทำการคงค่ากระแส

วงจรส่วนอย่างประกอบด้วยแหล่งกระแสที่จ่ายขนาดกระแสเป็น  $I$  และความต้านทานขาออก  $R_o$  เมื่อวงจรจ่ายกระแสให้โหลด  $R_L$  กระแสขาออก  $I_o$  ที่ได้จะมีค่าต่ำกว่าค่า  $I$  เนื่องมาจากมีกระแสส่วนหนึ่งไหลเข้าสู่ความต้านทานขาออกของวงจร เราสามารถหาการคงค่ากระแส (Current regulation ;CR) ของวงจรนี้ได้จากสมการ

$$CR(\%) = \frac{|I_o - I|}{|I|} * 100 \quad \dots\dots\dots \text{สมการที่ 4.23}$$

จากสมการ 1<sub>ii</sub> คือ กระแสขาออกตอนไม่มีโหลด (ความต้านทานโหลดเป็นศูนย์) และ 1<sub>ii</sub> คือ กระแสเด้านอกตอนต่อโหลด  $R_L$  ในวงจรชีงจากรูปที่ 4.24 เราสามารถหาค่ากรองค่ากระแสของวงจรตัวอย่างได้เป็น

$$CR(\%) = \frac{R_L}{R_o} * 100 \quad \text{สมการที่ 4.24}$$

จากวงจรสมมูลในรูปที่ 4.22 เราสามารถหาค่าความต้านทานขาออก  $R'_o$  ของวงจรเมื่อมองจากความต้านทานโหลดได้เป็น

$$R'_o = \frac{Z(1+aA'k)}{a^2} \quad \text{สมการที่ 4.25}$$

โดยที่  $A' = \frac{R_c C_f S}{R_c C_f S + 1} \cdot A$   $Z$  คือ ขนาดอิมพีเดนซ์รวมระหว่างค่าตัวเหนี่ยวนำทำแม่เหล็ก

$L$  ของหม้อแปลงกับค่าความต้านทานขาออกของวงจรอปเปอร์แอมป์ ซึ่งมีค่าเป็น  $\frac{R_{out} sL}{R_{out} + sL}$  ดังนั้น เมื่อแทนค่าขนาดของ  $R'_o$  ด้วยการแทน  $s = j\omega$  และขนาดของค่าที่ได้ไม่ให้เกิน 0.1 % จะได้ ความสัมพันธ์

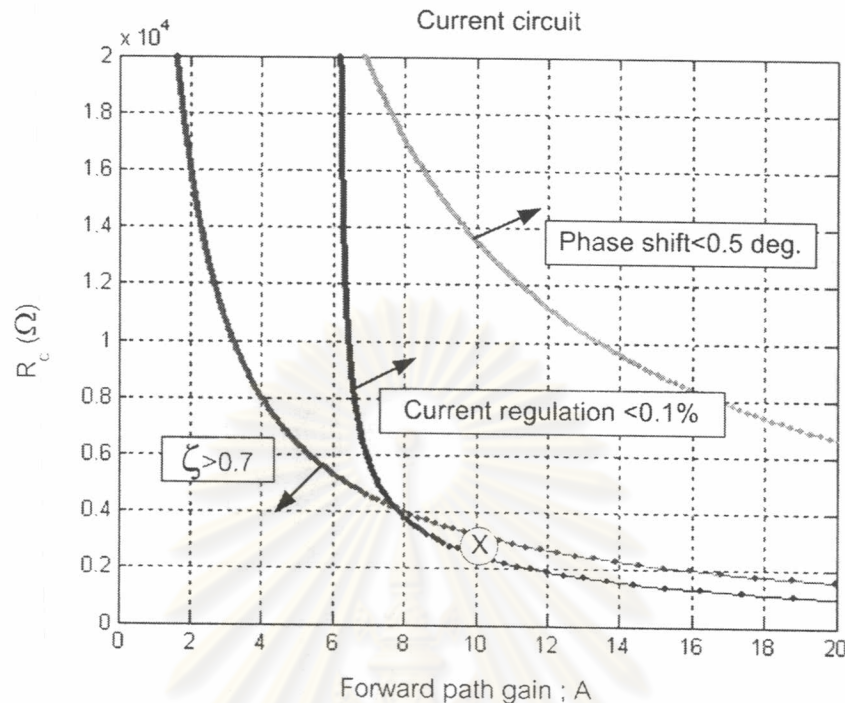
$$A > \left( \frac{1000 \cdot R_L a^2 \sqrt{(\omega L)^2 + R_{out}^2}}{\omega L R_{out}} - 1 \right) \cdot \frac{\sqrt{(R_c C_f \omega)^2 + 1}}{R_c C_f \omega} \cdot \frac{1}{ak} \quad \text{สมการที่ 4.26}$$

เมื่อคิดที่ความถี่ 50 Hz และค่า  $R_L$  เป็น 10 mΩ และแทนค่าพารามิเตอร์อื่น ๆ ลงไปจะได้

$$A > (18.196 - 1) \cdot \frac{\sqrt{(R_c C_f 314.159)^2 + 1}}{R_c C_f 314.159} \cdot 0.357 \quad \text{สมการที่ 4.27}$$

จากสมการข้อกำหนดทั้งสาม (สมการที่ 4.20 , 4.22 และ 4.27) เราสามารถวาดกราฟ ความสัมพันธ์ระหว่างอัตราขยายวิถีไปหน้า A กับความต้านทานของวงจรถักนอฟเซต  $R_c$  ได้ โดยที่ แทนค่าตัวเก็บประจุกับวงจรถักนอฟเซตเป็น 1 μF เพื่อให้วงจรถักนอฟเซตไม่ลดthon สัญญาณแรงดันมาก เกินไป ผลที่ได้เป็นดังกราฟในรูปที่ 4.25 จากกราฟจะเห็นว่าเราไม่สามารถเลือกค่า  $R_c$  และ A ที่ทำให้ระบบมีสมบัติสอดคล้องกับข้อกำหนดทั้งสามได้ (รวมถึงในกราฟส่วนที่ไม่ได้แสดงอยู่ในรูป ด้วย) ดังนั้นเราจะเป็นต้องเลือกตัดข้อกำหนดบางข้อออกไป ซึ่งในที่นี้จะเลือกตัดข้อกำหนดด้าน ความคลาดเคลื่อนเพื่อวัดความต้านทานปั๊บเทียบได้โดยใช้ส่วนสร้างสัญญาณต้นแบบ จากนั้นจึงเลือกค่าที่อยู่ในจุดที่สอดคล้องกับข้อกำหนดสองข้อที่เหลือโดยจุดที่เลือกดือ จุดที่  $A=10$  เท่า และ  $R_c = 3k\Omega$  ซึ่งเมื่อแทนค่าพารามิเตอร์กลับจะพบว่า ค่าที่เลือกได้นี้ทำให้ระบบมีสมบัติคือ  $\zeta=0.7216$  , สัญญาณออกมีเฟสนำสัญญาณเข้าอยู่ 2.133 องศา และ การคงค่ากระแสเฉลี่ยค่าเป็น

0.0914 % (ขนาดออมพีడเคนซ์ขาออกเป็น  $10.9383 \Omega$ ) ซึ่งผ่านข้อกำหนดที่ออกแบบไว้สองข้อตามที่ได้กล่าวไว้

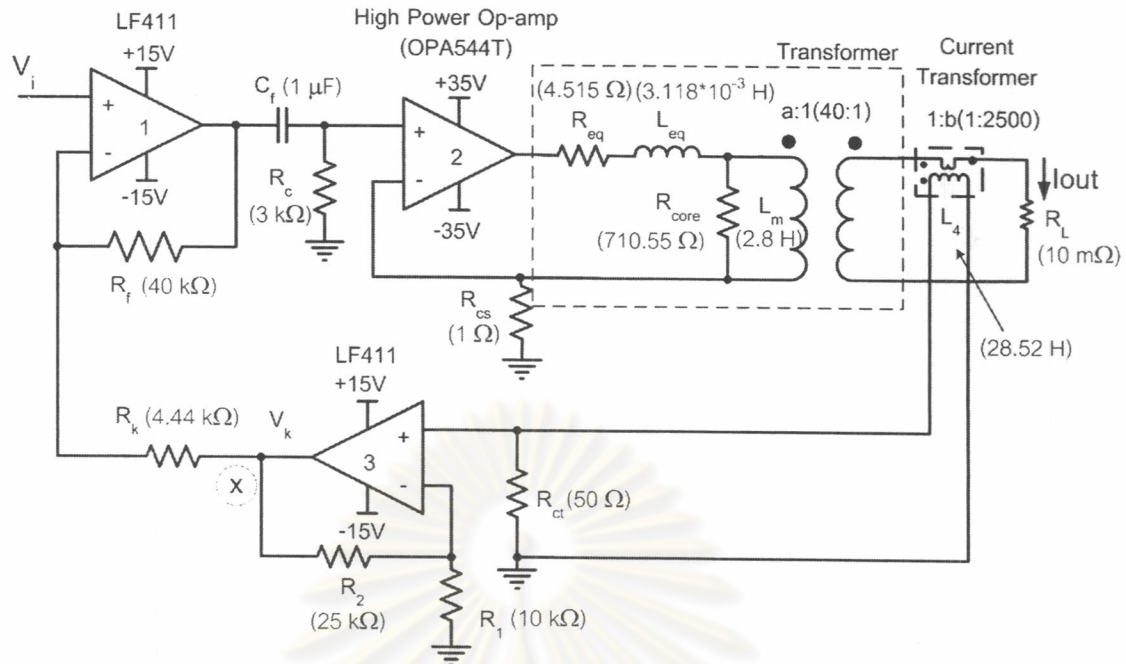


รูปที่ 4.25 การเลือกค่าพารามิเตอร์  $A$  และ  $R_c$  ตามข้อกำหนดสำหรับวงจรขยายกระแส

#### 4.3.3 การปรับปรุงวงจร

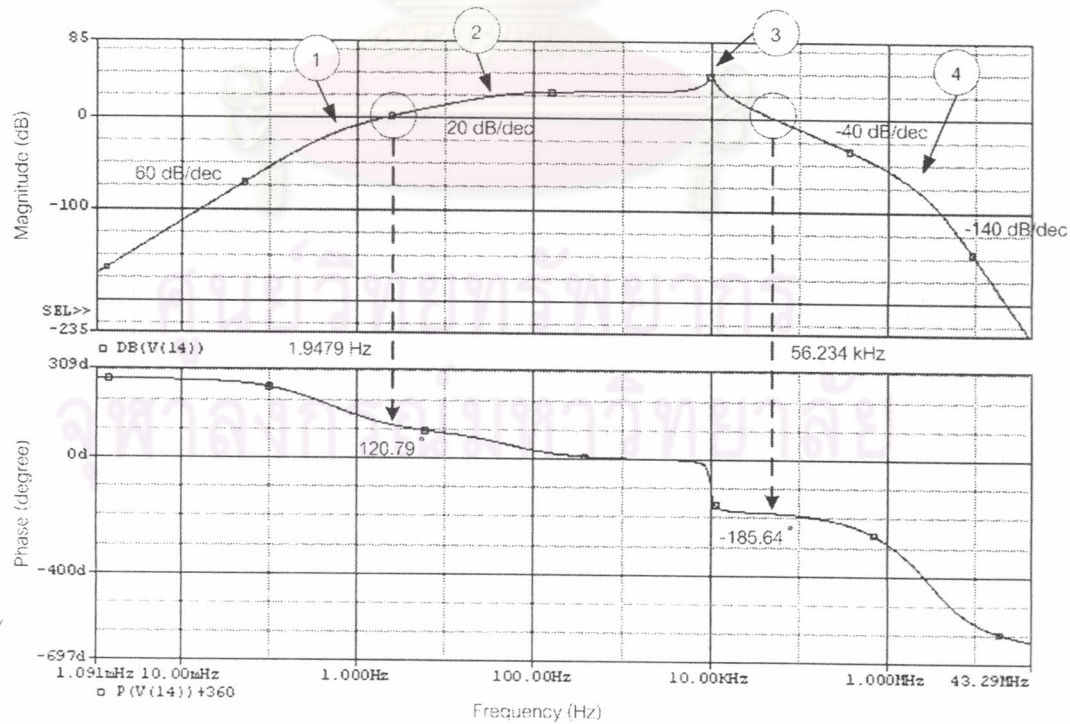
เมื่อวิเคราะห์วงจรโดยแทนค่าพารามิเตอร์ทุกด้วยตัวลงไปในวงจรในรูปที่ 4.18 ใช้แบบจำลองวงจรของอปแอมป์เบอร์ OPA544T และ LF411 ที่บริษัทผู้ผลิตมีให้ รวมทั้งใช้วงจรสมมูลของหม้อแปลงที่ได้แสดงไว้ในรูปที่ 4.23 มาแทนที่ในตำแหน่งหม้อแปลงของวงจร (เดิมประมาณเป็นความเหนี่ยวนำ  $L_4$ ) ซึ่งได้ค่าจากการวัดค่าความเหนี่ยวนำทางผังทุกด้านของหม้อแปลง (ผังที่มีจำนวนรอบมาก) จะได้ว่าวงจรที่จะนำมาจำลองมีลักษณะดังรูปที่ 4.26

จุดลงกรณ์มหาวิทยาลัย



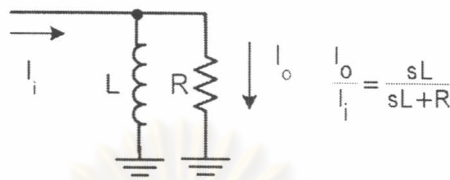
รูปที่ 4.26 วงจรแปลงแรงดันเป็นกระแสที่ออกแบบ

จากการวิเคราะห์ผลตอบสนองทางความถี่ของระบบวงจรโดยหาส่วนเพิ่มของเฟลโดยหาจากผลตอบสนองทางความถี่ของระบบวงจรเปิดซึ่งทำโดยเปิดวงจรที่จุด X และลดความต้านทาน  $R_k$  ลงдин จำกนั้นวัดแรงดันทางด้านออกของวงจรรอบแม่เหล็ก 3 ชึงเป็นสัญญาณป้อนกลับทั้งขนาดและเฟลได้ผลดังรูปที่ 4.27



รูปที่ 4.27 ผลตอบสนองเชิงความถี่ของระบบวงจรเปิดของวงจรแปลงแรงดันเป็นกระแส

จากรูปจะเห็นว่าอัตราขยายของสัญญาณที่ความถี่ต่ำ (ด้านซ้ายสุดของกราฟ) จะเพิ่มขึ้นด้วยความชันเป็น 60 dB/decade ซึ่งหมายถึงระบบนี้มีศูนย์ 3 ศูนย์ ซึ่งแตกต่างจากตอนที่ออกแบบไว้ จากร่วมสมมูลในรูปที่ 4.22 จะเห็นว่ามีศูนย์เพียง 2 ศูนย์ และมีข้าว 2 ข้าว ศูนย์และข้าวคู่แรกเป็นผลจากหม้อแปลงกำลังที่ทำหน้าที่ขยายกระแสซึ่งมีลักษณะอย่างง่ายดังแสดงในรูปที่ 4.28

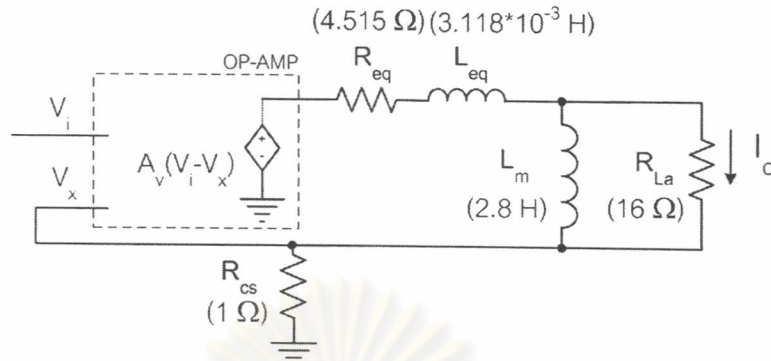


รูปที่ 4.28 วงจรสมมูลอย่างง่ายแสดงส่วนสร้างข้าวและศูนย์ของหม้อแปลงกระแส

จากรูป L แทนความหนี่ยวนำทำแม่เหล็กของหม้อแปลง และ R แทนความต้านทานที่มาขานกับ L ซึ่งจากร่วมในรูปที่ 4.26 จะหมายถึงความต้านทานแทนการสูญเสียในแกน  $R_{core}$  ขานกับความต้านทานโหลด  $R_L$  (ถูกย้ายผ่านอัตราส่วนจำนวนรอบของหม้อแปลงมา) และขานกับความต้านทานขากอกของแหล่งกระแส จากพังก์ชันถ่ายโอนในรูปที่ 4.28 จะเห็นว่าหม้อแปลงขยายกระแสนี้จะสร้างศูนย์ให้กับระบบวงเบิดที่จุดกำเนิดและสร้างข้าวอยู่ที่ความถี่  $\frac{R}{2\pi L}$  ทำให้เราสามารถประมาณค่าข้าวที่เป็นผลจากส่วนนี้ได้โดยการแทนค่าขนาดของพารามิเตอร์ที่เกี่ยวข้อง ได้ค่าเป็น 0.889 Hz ซึ่งหมายถึงตัวแหน่งหมายเลข 1 ในรูปที่ 4.27 ศูนย์และข้าวอิกคูห์นีจะเป็นผลมาจากการกักกันอฟเซต (ดังแสดงในรูปที่ 4.12 ด้านซ้ายมือ) ซึ่งมีศูนย์อยู่ที่จุดกำเนิด และข้าวอยู่ที่ความถี่  $\frac{1}{2\pi R_c C_f}$  ซึ่งแทนค่าได้เป็น 53.05 Hz ซึ่งหมายถึงตัวแหน่งหมายเลข 2 ในรูปที่ 4.27 ส่วนศูนย์ที่เพิ่มเข้ามานี้เป็นผลมาจากหม้อแปลงกระแสที่ทำให้หน้าที่วัดสัญญาณกระแสออกเพื่อป้อนกลับซึ่งเราได้ละเลยไปในตอนออกแบบวงจร ซึ่งวงจรหม้อแปลงกระแสนี้จะมีลักษณะดังในรูปที่ 4.28 เช่นกัน ซึ่งจะเห็นว่าทำให้เกิดศูนย์ที่ความถี่ศูนย์และข้าวที่ความถี่  $\frac{R}{2\pi L}$  ซึ่งแทนค่าได้เป็น 0.279 Hz ซึ่งอยู่ที่ตัวแหน่งหมายเลข 1 ของวงจร (ตัวแหน่งหมายเลข 1 จะมีข้าวสองข้าวอยู่ติดกันทำให้ความชันของกราฟอัตราขยายวงเบิดเพิ่มขึ้น 40 dB/decade สำหรับในส่วนความถี่ต่ำนี้สามารถหาส่วนເຝືອຂອງເຟັກໄຟໄລໄດ້ເປັນ 59.21 ອົງຄາ ซึ่งแสดงໃຫ້ເຮັດວຽກພິເສດຖະກິບ ນັ້ນແດດງວ່າການເພີ່ມມາຂອງຂົວແລະศູນຍີທີ່ເກີດຈາກหม้อแปลงกระแสໄມ່ໄດ້ທຳໃຫ້ຮະບັບຂາດເສດຖະກິບພາກພະຕູກັນໄດ້ສ່ວນໃນດ້ານຄວາມຄືສູງສາມາດຫາສ່ວນເຝືອຂອງເຟັກໄຟໄລໄດ້ເປັນ -5.64 ອົງຄາ ซึ่งແດດງໃຫ້ເຮັດຈາກວ່າທຳໃຫ້ຮະບັບຂາດເສດຖະກິບພາກພະຕູກັນນັ້ນຈຳເປັນຕ້ອງຫາສາເຫດແລະທຳການເກົ່າໄຂ

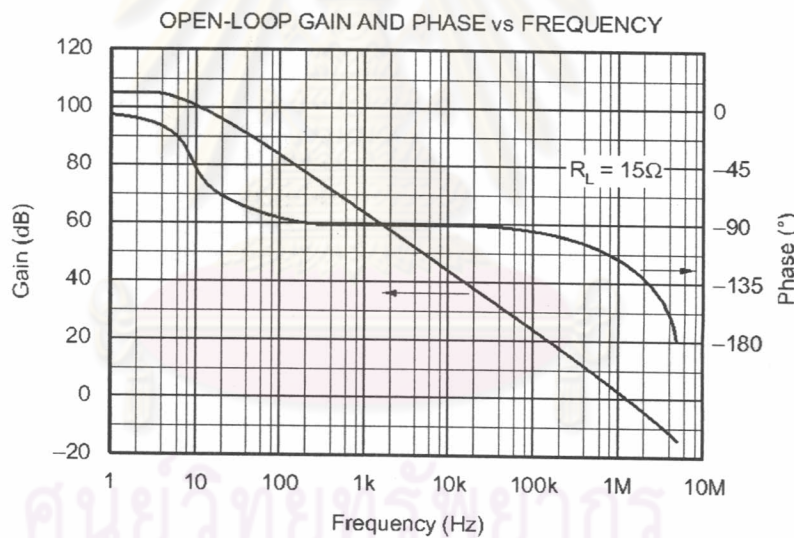
ສາເຫດຂອງກາරຂາດເສດຖະກິບພາກເກີດຈາກໂຄງສ້າງຂອງວົງຈຽບປ່ອມປີທີ່ທຳหน้าທີ່ແປງແຮງດ້ານເປັນກະແສ (ວົງຈຽບປ່ອມປີหมายเลข 2 ในรูปที่ 4.26) ເຮັດວຽກຈາກນີ້ມາພິຈາລະນາແຍກຈາກ

วงจรทั้งหมด โดยจะแทนออกเป็นปั๊ดวัยแหล่งกำเนิดแรงดันควบคุมด้วยแรงดัน และจะเลยความต้านทานของอุปกรณ์ ให้ลดลงของวงจรคือ นำมอแปลงที่แทนด้วยวงจรสมมูลดังรูปที่ 4.29



รูปที่ 4.29 โครงสร้างของวงจรอุปกรณ์ที่ทำหน้าที่แปลงแรงดันเป็นกระแส

ความต้านทาน  $R_{La}$  คือความต้านทานด้านออกของนำมอแปลงที่ถูกข่ายมาทางผู้ออกอุปกรณ์ และจะเลยความต้านทาน  $R_{core}$  ในรูปที่ 4.26 ไปเนื่องจากมีค่าสูงกว่าความต้านทาน  $R_L$  มาก ค่า  $A_v$  คืออัตราขยายของอุปกรณ์ชั้นลักษณะดังรูปที่ 4.30 (จากคู่มือของคุปกรน์[10])



รูปที่ 4.30 อัตราขยายของอุปกรณ์ OPA544T

ซึ่งจากรูปเราสามารถเขียนอัตราขยายของอุปกรณ์  $A_v$  ได้ในรูป

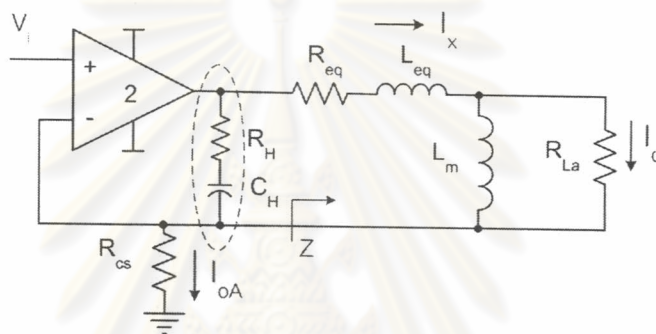
$$A_v = \frac{A_0}{\frac{s}{p} + 1} \quad \text{สมการที่ 4.28}$$

ซึ่งจากรูปที่ 4.30 เราสามารถหา  $A_0$  ได้เป็น 105 เดซิเบล และความถี่หักมุม  $p$  ได้เป็น 10 Hz ซึ่งทำให้เราสามารถหาพังก์ชันถ่ายอนของวงจรในรูปที่ 4.29 ได้เป็น

$$\frac{I_o}{V_i} = \frac{3.1284 \times 10^7 s}{(s + 5.714)(s + 3493.72 + 59867.15 \cdot i)(s + 3493.72 - 59867.15 \cdot i)} \quad \text{สมการที่ 4.29}$$

จากฟังก์ชันถ่ายโอนจะเห็นว่าในจะมี 1 ศูนย์และสามข้อ โดยมีศูนย์อยู่ที่จุดกำเนิด และมีข้อหนึ่งอยู่ที่ความถี่ต่ำซึ่งคิดเป็น  $0.909 \text{ Hz}$  ซึ่งข้อและศูนย์คุณนี้จะเป็นข้อและศูนย์ที่เกิดจาก  $R_L$  และ  $L_m$  หรือ (ดังที่ได้กล่าวไว้แล้วก่อนหน้านี้) และอีกสองข้อจะเป็นผลมาจากการค่า  $L_{eq}$  ในวงจรสมมูลหม้อแปลงและข้อของอัตราขยายวงเบิดของอปแอมป์ ซึ่งเมื่อคูณพจน์ทั้งสองเข้าด้วยกันจะมีลักษณะเป็นฟังก์ชันถ่ายโอนอันดับสองเหมือนสมการที่ 4.3 โดยสามารถหาค่า  $\omega_n$  ได้เป็น  $9544.36 \text{ Hz}$  และมี  $\zeta$  เป็น  $0.058$  ซึ่งจะเห็นว่าต่ำมาก และมีผลทำให้เกิดลักษณะผลตอบของขนาดและเฟสดังต่อไปนี้ หมายเลขอุปกรณ์ที่ 4.27

การแก้ไขเสถียรภาพของส่วนนี้ทำโดยใส่ค่าความต้านทานและค่าความจุเพื่อปรับข้อของวงจรดังรูปที่ 4.31

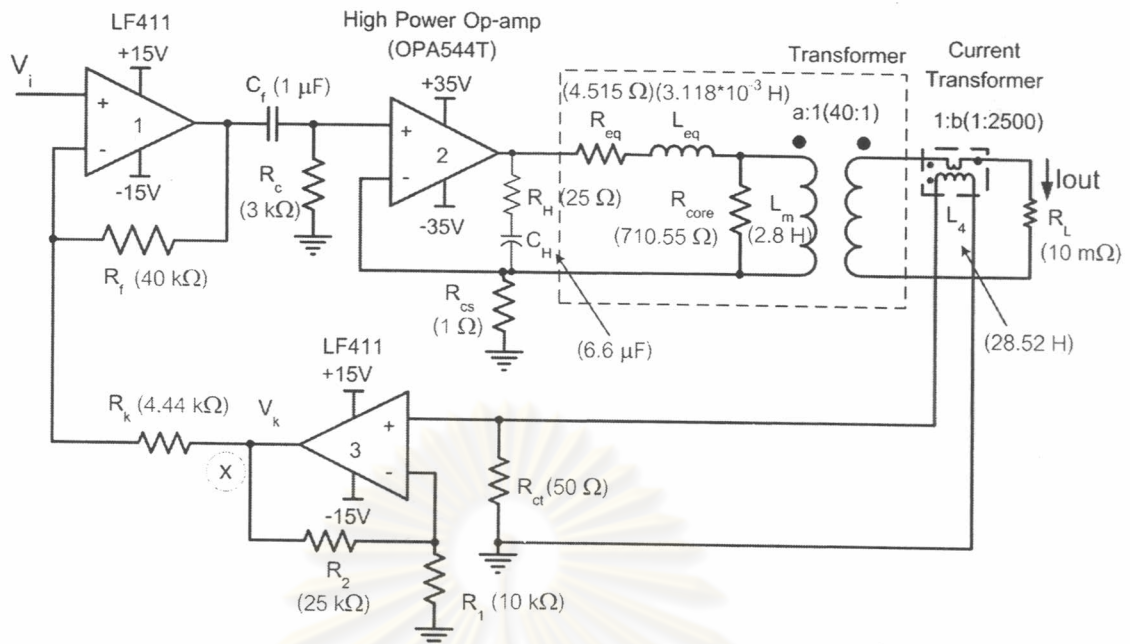


รูปที่ 4.31 การใส่ความต้านทานและตัวเก็บประจุเพื่อปรับข้อของวงจร

การใส่ความต้านทาน  $R_H$  และ ค่าความจุ  $C_H$  เข้ามา จะเป็นการเพิ่มศูนย์ให้กับระบบ เมื่อให้  $Z_H$  เป็นออมพีเดนซ์รวมของ  $R_H$  และ  $C_H$  ซึ่งมีค่าเท่ากับ  $\frac{R_H C_H s + 1}{C_H s}$   $Z$  เป็นออมพีเดนซ์รวมที่มองออกไปทางขวาของ  $Z_H$  และจากรูปที่ 4.21 เราทราบว่าสามารถประมาณค่ากระแส  $I_{OA}$  ว่ามีค่าประมาณ  $\frac{V_i}{R_{cs}}$  ได้ เราสามารถเขียนความสัมพันธ์ระหว่าง  $I_o$  และ  $V_i$  ได้เป็น

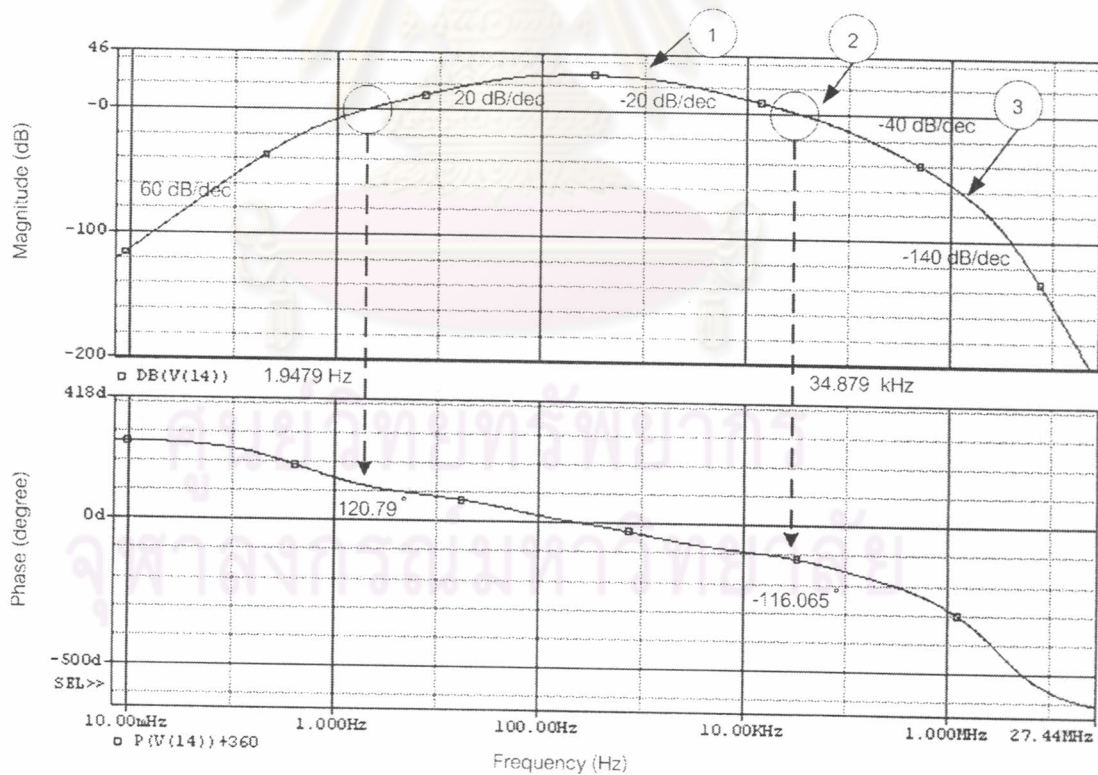
$$I_o = \frac{sL_m}{sL_m + R_{La}} \cdot \frac{Z_H}{Z_H + Z} \cdot \frac{V_i}{R_{cs}} \quad \text{สมการที่ 4.30}$$

จากสมการเราจะเห็นว่าศูนย์ของ  $Z_H$  จะกลายเป็นศูนย์ของระบบ ซึ่งในที่นี้เราจะใส่ศูนย์เข้าไปเพื่อชดเชยข้อที่ทำให้วงจรขาดเสถียรภาพ จากการทดลองเห็นค่าจะได้ว่าค่า  $R_H$  และ  $C_H$  ที่เหมาะสม และทำให้ระบบโดยรวมของวงจรแปลงแรงดันเป็นกระแสเมื่อเสถียรภาพที่ความถี่สูงคือ  $R_H = 25 \Omega$  และ  $C_H = 6.6 \mu\text{F}$  โดยวงจรจะมีลักษณะดังรูปที่ 4.32



รูปที่ 4.32 วงจรแปลงแรงดันเป็นกระแสที่ผ่านการแก้ไขเสถียรภาพแล้ว

จากรูปที่ 4.32 จึงนิ่งประจำการทำงานของระบบวงบีดจะได้ลักษณะผลตอบสนองเชิงความถี่เป็นดังรูปที่ 4.33



รูปที่ 4.33 ผลตอบสนองเชิงความถี่ของระบบที่แก้ไขเสถียรภาพแล้ว

ซึ่งจากรูปจะเห็นว่าส่วนเพื่อของเฟสที่ความถี่สูงมีค่าเป็น 63.935 องศา ส่วนที่ความถี่ต่ำส่วนเพื่อของเฟสมีค่าเท่าเดิม ซึ่งแสดงให้เห็นว่างจรดมีเสียงรบกวนที่ดี จากนั้นจะทดลองจำลองการทำงานและวัดสมบัติต่าง ๆ ที่ออกแบบ ซึ่งได้ผลดังนี้

### 1. ความต่างเฟสของสัญญาณออกเทียบกับสัญญาณเข้า

จากการจำลองการทำงานของวงจร (ระบบวงปิด) จะพบว่าสัญญาณกระแสออกมีเฟสนำสัญญาณแรงดันเข้าอยู่ 1.8104 องศา ที่โหลด 10 mΩ จะเห็นว่าค่าความต่างเฟสที่รัดได้มากกว่าค่าที่กำหนดไว้ เนื่องจากในการออกแบบได้ตัดข้อกำหนดนี้ออกไปเพื่อให้ผ่านข้อกำหนดด้านโดยจะไปชดเชยความต่างเฟสในภายหลังด้วยการปรับเทียบสัญญาณต้นแบบ

### 2. การคงค่ากระแสของวงจร

เนื่องจากการคงค่ากระแสต้องคิดเทียบกับกรณีไม่มีโหลดซึ่งสำหรับวงจรจ่ายกระแสจะหมายถึงความต้านทานของโหลดเป็นศูนย์ดังนั้นในการจำลองการทำงานจะไม่สามารถปรับให้ความต้านทานมีค่าเป็นศูนย์ได้ ดังนั้นจึงใช้ความต้านทานค่าต่ำมาก ๆ แทนโดยกำหนดให้ความต้านทานสำหรับกรณีไม่มีโหลดเป็น 0.01 mΩ และตอนมีโหลดสูงสุดเป็น 10 mΩ จากการจำลองการทำงานสามารถคำนวณการคงค่ากระแสได้เป็น 0.145 % (อัตราขยายที่โหลด 10 mΩ มีค่าเป็น 15.164 เท่า และอัตราขยายที่โหลด 0.01 mΩ มีค่าเป็น 15.186 เท่า) ซึ่งจะเห็นว่ามากกว่าค่าที่ออกแบบไว้ ทั้งนี้เกิดเนื่องมาจากการต่อ  $R_H$  และ  $C_H$  เข้ามาชดเชยเสียงรบกวนนั้นเอง แต่สำหรับการใช้งานจริงแล้วพบว่าโหลดต่ำสุดของวงจรที่สามารถทำได้คือ 5 mΩ ดังนั้นถ้าคิดการคงค่ากระแสที่ความต้านทานโหลดจาก 5 mΩ ไปถึง 10 mΩ จะได้ค่าการคงค่ากระแสเป็น 0.0725 % (อัตราขยายที่โหลด 5 mΩ มีค่าเป็น 15.175 เท่า) จะเห็นว่ากระแสตกไปไม่เกิน 0.1 % ซึ่งยังยอมรับได้

นอกจากนี้จะเห็นว่าอัตราขยายของวงจรจะไม่เป็น 15 เท่าพอดีดังที่ได้กล่าวไว้ในช่วงแรก ซึ่งในส่วนนี้ก็สามารถแก้ไขได้ด้วยการปรับเทียบค่าสัญญาณต้นแบบ เช่นเดียวกับวงจรขยายแรงดัน

### 3. ช่วงเวลาเข้าที่ของวงจร

จากการจำลองการทำงานที่โหลดของวงจรปกติ 5 mΩ พบร่วงจร มีค่าช่วงเวลาเข้าที่ถึงค่า 1 % ของสัญญาณออกที่สภาวะอยู่ตัวเป็น 165 ms ซึ่งน้อยกว่า 0.2 s